

МОСКОВСКИЙ ГОСУДАРСТВЕННЫЙ УНИВЕРСИТЕТ
им. М.В. ЛОМОНОСОВА



НИИ ЯДЕРНОЙ ФИЗИКИ им. Д.В. СКОБЕЛЬЦЫНА



Ю.П. Филиппов^a

Петлевые эффекты во взаимодействиях бозонов Хиггса в Минимальной суперсимметричной стандартной модели

Диссертация на соискание ученой степени кандидата физико-математических наук
(специальность 01.04.02 – "Теоретическая физика")

Заседание Диссертационного совета К 501.001.03,
НИИЯФ им. Скобелева МГУ, Москва
15. 02. 2007

^aE-mail: yuphil@ssu.samara.ru

Введение

- ☞ Актуальность. Механизм генерации масс фундаментальных частиц (МГМ) – ключевой элемент в построении современных калибровочных моделей квантовой теории поля (КТП).
- ⇒ Он **позволяет получить** непротиворечивым образом массовые члены полей материи и полей промежуточных калибровочных бозонов.
- ⇒ При реализации механизма модели сохраняют ряд важных свойств: калибровочная инвариантность и перенормируемость.

Механизм генерации масс

↙
Юкавское взаимо-вие

↘
Механизм Хиггса

- ☞ МГМ на сегодняшний день **не получил прямого экспериментального подтверждения.**

Одним из этапов экспериментальной проверки МГМ в рамках СМ и МССМ является экспериментальное определение констант взаимодействия бозонов Хиггса, предсказанных в рамках модели.

☞ Для решения этой проблемы необходимо:

- ⇒⇒ выполнить анализ сечений $\sigma = \sigma(\lambda_{HHH})$ процессов, определяемых константами, в низшем приближении;
- ⇒⇒ выполнить высокоточные расчеты констант взаимодействия БХ, их масс и сечений избранных процессов, сопровождающиеся учетом петлевых поправок высших порядков теории возмущений к указанным параметрам;
- ⇒⇒ выполнить сравнительный анализ результатов теории и экспериментов по измерению сечений избранных процессов.

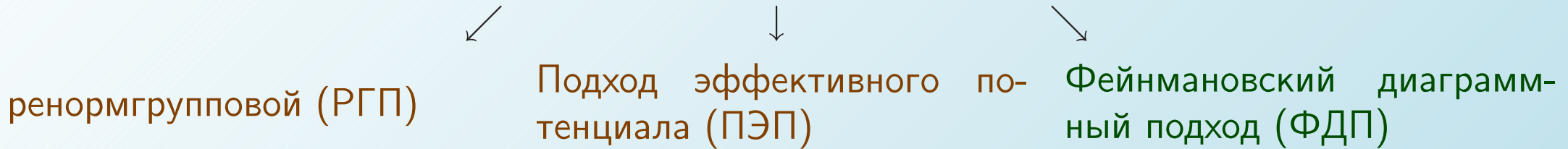
➡ Главная цель диссертационной работы – прецизионный теоретический расчет вершинных функций (констант) трехчастичных взаимодействий бозонов Хиггса в рамках МССМ и соответствующих физических наблюдаемых – ширины распада $\Gamma(H \rightarrow hh)$ и сечений процессов $e^+e^- \rightarrow hh$, $e^+e^- \rightarrow hH$, $e^+e^- \rightarrow HH$, $e^+e^- \rightarrow AA$. Расчет реализуется в однопетлевом приближении, в рамках ФДП.

☞ Основные задачи работы:

1. Расчет всевозможных однопетлевых вкладов (допускаемых в МССМ) в одно-, двух-, трех- и четырехточечные вершинные функции (ВФ). Представление однопетлевых вкладов в аналитической форме.
2. Расчет системы контрчленов (в рамках On-shell-схемы перенормировки) для а) однотоочечных ВФ бозонов Хиггса h, H , б) собственной энергии γ, W, Z – калибровочных бозонов, h, A, H – бозонов Хиггса, в) энергии смешивания $\gamma - Z, h - H, A - Z$, г) шести констант трехчастичного взаимодействия нейтральных БХ МССМ.
3. Построение алгоритмов алгебраической редукции скалярных интегралов B_0, C_0 для представления их в форме, наиболее удобной для использования процедуры перенормировки и численного расчета.
4. Расчет шести констант трехчастичного взаимодействия нейтральных БХ ($\lambda_{hhh}, \lambda_{hhH}, \lambda_{hHH}, \lambda_{HNN}, \lambda_{hAA}, \lambda_{HAA}$) в однопетлевом приближении с учетом $t\tilde{t}$ -, $b\tilde{b}$ -, $c\tilde{c}$ - $\tau\tilde{\tau}$ -петель в ФДП.
5. Расчет ширины распада $\Gamma(H \rightarrow hh)$ с учетом $t\tilde{t}$ -, $b\tilde{b}$ -, $c\tilde{c}$ - $\tau\tilde{\tau}$ -петель в ФДП.
6. Расчет амплитуд и полных сечений процессов $e^+e^- \rightarrow hh, e^+e^- \rightarrow hH, e^+e^- \rightarrow HH, e^+e^- \rightarrow AA$ в полном однопетлевом приближении в ФДП.

Задача № 1. Расчет однопетлевых вкладов в ВФ

Основные пертурбативные подходы в МССМ



Центральный объект исследований – n – точечная вершинная функция.

ВФ в однопетлевом приближении представляется в виде:

$$\Gamma^{(n)} = \Gamma_{[0]}^{(n)} + \hat{\Gamma}_{[1]}^{(n)}, \quad \hat{\Gamma}_{[1]}^{(n)} = \sum_{i,\{j\}} T_{i,\{j\}}^{[1]} + \delta\Gamma_{[1]}^{(n)}. \quad (1)$$

Трудности:

- огромное количество петлевых вкладов, как их упорядочить при расчете?
- Как представить итоговый результат в компактной аналитической форме?
- Как минимизировать по времени численные расчеты поправок на компьютере?

Подход базисных диаграмм Фейнмана (БДФ)

1. Рассматриваемая квантовополевая модель (МССМ) характеризуется системой скалярных – $\{s_i\}$, векторных – $\{v_j\}$, фермионных – $\{f_k\}$ полей.
2. В расчете петлевых поправок к наблюдаемым по ТВ будем использовать калибровку т'Хоофта-Фейнмана ($\xi = 1$).
3. Требование выполнения релятивистской, калибровочной инвариантности и перенормируемости лагранжиана модели приводят к следующим возможным типам трех- и четырехчастичных взаимодействий (см. таблицу 1).

$s_k \bar{f}_i f_j$	$v_k \bar{f}_i f_j$	$s_k s_i s_j$	$v_k s_i s_j$	$s_k v_i v_j$	$v_k v_i v_j$	$s_k s_l s_i s_j$	$s_k s_l v_i v_j$	$v_k v_l v_i v_j$
$V_{f_i f_j}^{s_k}$	$V_{f_i f_j}^{v_k, \{\mu\}}$	$V_{s_i s_j}^{s_k}$	$V_{s_i s_j}^{v_k, \{\mu\}}$	$V_{v_i v_j}^{s_k, \{\mu\nu\}}$	$V_{v_i v_j}^{v_k, \{\mu\nu\lambda\}}$	$V_{s_i s_j}^{s_k s_l}$	$V_{v_i v_j}^{s_k s_l, \{\mu\nu\}}$	$V_{v_i v_j}^{v_k v_l, \{\mu\nu\lambda\rho\}}$
$V_{f_i f_j}^{p, \{\mu\}}$		$V_{s_i s_j}^p$	$V_{sv}^{p, \{\mu, \nu\}}$	$V_{v_i v_j}^{p, \{\mu\nu, \lambda\}}$		$V_{s_i s_j}^{pp, \{\mu\nu\}}$	$V_{v_i v_j}^{pp, \{\mu\nu, \lambda\rho\}}$	

Таблица 1:

$$\text{pff} : \quad V_{f_1 f_2}^p \{\mu\} = \{s_{f_1 f_2}^p + p_{f_1 f_2}^p \gamma^5, v_{f_1 f_2}^p \gamma^\mu + a_{f_1 f_2}^p \gamma^\mu \gamma^5\}, \quad (2)$$

$$\text{pss} : \quad V_{s_1 s_2}^p \{\mu\} = \{s_{s_1 s_2}^p, v_{s_1 s_2}^p (q_1 - q_2)^\mu\}, \quad (3)$$

$$\text{psv} : \quad V_{sv}^p \{\mu, \nu\} = \{v_{sv}^p (q_1 - q_2)^\mu, t_{sv}^p g^{\mu\nu}\}, \quad (4)$$

$$p\nu\nu : V_{v_1 v_2}^p \{\mu\nu, \lambda\} = \{t_{v_1 v_2}^p g^{\mu\nu}, d_{v_1 v_2}^p [g^{\mu\nu} (q_1 - q_2)^\lambda + g^{\nu\lambda} (q_2 - q_3)^\mu + g^{\lambda\mu} (q_3 - q_1)^\nu]\}, \quad (5)$$

$$p\nu s s : V_{s_1 s_2}^{p_I p_{II}} \{\mu\nu\} = \{s_{s_1 s_2}^{p_I p_{II}}, t_{s_1 s_2}^{p_I p_{II}} g^{\mu\nu}\}, \quad (6)$$

$$p\nu p\nu\nu : V_{v_1 v_2}^{p_I p_{II}} \{\mu\nu, \lambda\rho\} = \{t_{v_1 v_2}^{p_I p_{II}} g^{\mu\nu}, a_{v_1 v_2}^{p_I p_{II}} [g^{\mu\rho} g^{\nu\lambda} - g^{\mu\nu} g^{\lambda\rho}] + b_{v_1 v_2}^{p_I p_{II}} [g^{\mu\lambda} g^{\nu\rho} - g^{\mu\rho} g^{\nu\lambda}] + c_{v_1 v_2}^{p_I p_{II}} [g^{\mu\lambda} g^{\nu\rho} - g^{\mu\nu} g^{\lambda\rho}]\}. \quad (7)$$

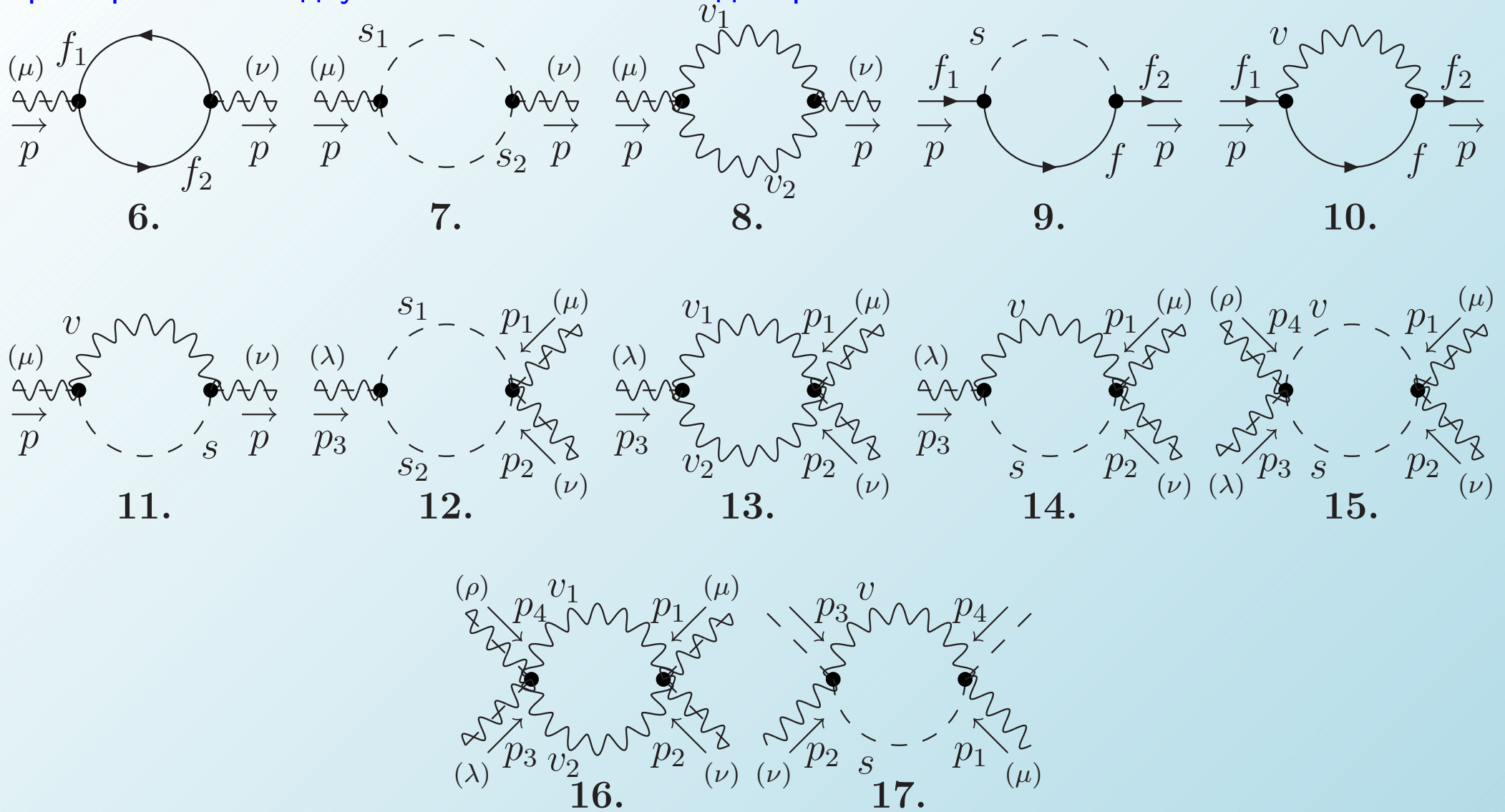
4. Критерий систематизации петлевых диаграмм по классам – количество точек (древесных вершин взаимодействия), которые определяют структуру данной диаграммы. В качестве критерия систематизации петлевых диаграмм по видам будем использовать набор типов полей виртуальных частиц с учетом их последовательности. Данный набор определяет обобщенную структуру – базисную диаграмму Фейнмана (БДФ).

5. Каждой БДФ будет сопоставлено аналитическое выражение. Последнее должно быть редуцировано с помощью стандартной техники тензорной, размерной и алгебраической редукции. Итоговый результат должен быть представлен суперпозицией дираковских матричных структур с коэффициентами, каждый из которых в свою очередь представляется линейной комбинацией минимального набора скалярных интегралов.

Основные преимущества подхода:

- В рамках настоящего подхода уже не нужно прибегать к процедурам тензорной, размерной и алгебраической редукции и, следовательно, отпадает необходимость в использовании дорогостоящего программного обеспечения для работы с символьными объектами.
- Благодаря разложению результата по минимальному набору скалярных интегралов, время вычислений значительно сокращается. Необходимо лишь один раз предварительно просчитать все имеющиеся скалярные интегралы, а затем просто подставить в ВФ.

Пример: система двухточечных базисных диаграмм Фейнмана



- Диаграммная интерпретация: БДФ № 7.

- Исходное выражение:
$$iT_{7,\{s_1s_2\}} = N_c k \int \frac{d^4q}{(2\pi)^4} \frac{V_{s_1s_2}^{p_1,\{\mu\}} V_{s_2s_1}^{p_2,\{\nu\}}}{(q^2 - m_1^2)((q+p)^2 - m_2^2)}, \quad (8)$$

- используемые результаты: (3), A_0 , B_0 , B_1 , $B_{\mu\nu}$.

- Итоговый результат:
$$T_{7,\{s_1s_2\}} = \{T_{7,\{s_1s_2\}}^{s_1s_{II}}, T_{7,\{s_1s_2\}}^{sv}, T_{7,\{s_1s_2\}}^{v_Iv_{II}}\}, \quad (9)$$

$$T_{7,\{s_1s_2\}}^{s_1s_{II}} = \frac{1}{16\pi^2} N_c k s_{s_1s_2}^{s_I} s_{s_2s_1}^{s_{II}} B_0(p^2, m_1^2, m_2^2); \quad T_{7,\{s_1s_2\}}^{sv} = \left[p^\mu \mathcal{F}_{7,\{s_1,s_2\}}^{sv} + p^\nu \mathcal{G}_{7,\{s_1,s_2\}}^{sv} \right], \quad (10)$$

$$\{\mathcal{F}_{7,\{s_1s_2\}}^{sv}, \mathcal{G}_{7,\{s_1s_2\}}^{sv}\} = \frac{1}{16\pi^2} N_c k \{v_{s_1s_2}^v s_{s_2s_1}^s, s_{s_1s_2}^s v_{s_2s_1}^v\} \times [B_0 + 2B_1](p^2, m_1^2, m_2^2); \quad (11)$$

$$T_{7,\{s_1s_2\}}^{v_Iv_{II}} = g^{\mu\nu} \mathcal{F}_{7,\{s_1s_2\}}^{T,v_Iv_{II}} + \frac{p^\mu p^\nu}{p^2} \mathcal{F}_{7,\{s_1s_2\}}^{L,v_Iv_{II}}, \quad (12)$$

$$\begin{aligned} \mathcal{F}_{7,\{s_1s_2\}}^{T,v_Iv_{II}} &= \frac{1}{24\pi^2} N_c k v_{s_1s_2}^{v_I} v_{s_2s_1}^{v_{II}} [A_0(m_2^2) + 2m_1^2 B_0(p^2, m_1^2, m_2^2) + (p^2 + m_1^2 - m_2^2) \times \\ &\times B_1(p^2, m_1^2, m_2^2) + m_1^2 + m_2^2 - \frac{p^2}{3}], \end{aligned} \quad (13)$$

$$\begin{aligned} \mathcal{F}_{7,\{s_1s_2\}}^{L,v_Iv_{II}} &= \frac{1}{12\pi^2} N_c k v_{s_1s_2}^{v_I} v_{s_2s_1}^{v_{II}} [A_0(m_2^2) + (\frac{3}{4}p^2 - m_1^2) B_0(p^2, m_1^2, m_2^2) + \\ &+ (p^2 + 2m_2^2 - 2m_1^2) B_1(p^2, m_1^2, m_2^2) - \frac{m_1^2 + m_2^2}{2} + \frac{p^2}{6}], \end{aligned} \quad (14)$$

Здесь $m_1 = m_{s_1}$, $m_2 = m_{s_2}$.

Задача № 2. Расчет контрчленов к ВФ

Для определения $\delta\Gamma_{[1]}^{(n)}$ в (1) будем использовать On-shell-схему перенормировки [1].

[1] Dabelstein A. The one loop renormalization of the MSSM higgs sector and its application to the neutral scalar higgs masses// Z. Phys. 1995. С 67. P. 495-512.

Лагранжиан электрослабого и хиггсовского секторов модели:

$$\mathcal{L} = \mathcal{L}_{Higgs} + \mathcal{L}_{Gauge}, \quad (15)$$

I. Система исходных свободных параметров лагранжиана (15), $\{m_1^2, m_2^2, m_{12}^2, v_1, v_2\}$, калибровочные константы g_1, g_2 заменяются на перенормированные параметры + контрчлены, поля модели претерпевают преобразования растяжения, т.е.

$$\left\{ \begin{array}{l} B_\mu \rightarrow (Z_2^B)^{1/2} B_\mu, \quad m_i^2 \rightarrow Z_{H_i}^{-1} (m_i^2 + \delta m_i^2), \quad m_{12}^2 \rightarrow Z_{H_1}^{-1/2} Z_{H_2}^{-1/2} (m_{12}^2 + \delta m_{12}^2), \\ W_\mu^\alpha \rightarrow (Z_2^W)^{1/2} W_\mu^\alpha, \quad g_1 \rightarrow Z_1^B (Z_2^B)^{-3/2} g_1, \quad g_2 \rightarrow Z_1^W (Z_2^W)^{-3/2} g_2, \\ H_i \rightarrow Z_{H_i}^{1/2} H_i, \quad v_i \rightarrow Z_{H_i}^{1/2} (v_i - \delta v_i), \quad Z_i \rightarrow 1 + \delta Z_i. \end{array} \right\} \quad (16)$$

Система замен (16) подставляется в (15), $\Rightarrow \mathcal{L} \rightarrow \mathcal{L}_R + \delta\mathcal{L}$. Выражая $\delta\mathcal{L}$ в терминах физических полей, выделяя в последнем коэффициенты при соответствующих произведениях полей, получаем результаты для контрчленов к одно-, двух- трехточечным ВФ БХ и калибровочных бозонов в терминах исходных контрчленов.

II. Структура контрчленов параметров лагранжиана (15) $\{\delta Z_{H_1}, \delta Z_{H_2}, \delta Z_1^W, \delta Z_1^B, \delta Z_2^W, \delta Z_2^B, \delta v_1, \delta v_2, \delta m_1^2, \delta m_2^2, \delta m_{12}^2\}$ определяется системой 11 условий, сформулированных в работе [1].

III. Решая систему 11 уравнений (55)–(62) с использованием формул Крамера, получаем явный вид контрчленов параметров лагранжиана (15):

$$\begin{aligned}
 \delta Z_{H_1} &= -\Sigma'_{AA}(M_A^2) + \frac{1}{M_Z t_\beta} \Re \Sigma_{AZ}(M_A^2), & \delta Z_{H_2} &= -\Sigma'_{AA}(M_A^2) - \frac{t_\beta}{M_Z} \Re \Sigma_{AZ}(M_A^2), \\
 \delta Z_1^B &= \delta Z_2^B = - \left[\frac{1}{M_Z^2} \Re \Sigma_{ZZ}(M_Z^2) - \frac{1}{M_W^2} \Re \Sigma_{WW}(M_W^2) \right] - \Sigma'_{\gamma\gamma}(0) + \frac{2s_w}{M_Z^2 c_w} \Re \Sigma_{\gamma Z}(0), \\
 \delta Z_1^W &= \frac{c_w^2}{s_w^2} \left[\frac{1}{M_Z^2} \Re \Sigma_{ZZ}(M_Z^2) - \frac{1}{M_W^2} \Re \Sigma_{WW}(M_W^2) \right] - \Sigma'_{\gamma\gamma}(0) - \frac{(1+2c_w^2)}{M_Z^2 s_w c_w} \Re \Sigma_{\gamma Z}(0), \\
 \delta Z_2^W &= \frac{c_w^2}{s_w^2} \left[\frac{1}{M_Z^2} \Re \Sigma_{ZZ}(M_Z^2) - \frac{1}{M_W^2} \Re \Sigma_{WW}(M_W^2) \right] - \Sigma'_{\gamma\gamma}(0) - \frac{2c_w}{M_Z^2 s_w} \Re \Sigma_{\gamma Z}(0), \\
 \delta v_1 &= -\frac{vc_\beta}{2s_w^2} \left[\frac{c_w^2}{M_Z^2} \Re \Sigma_{ZZ}(M_Z^2) - \frac{1-2s_w^2}{M_W^2} \Re \Sigma_{WW}(M_W^2) \right] + \frac{vc_\beta}{2} \left[\Sigma'_{\gamma\gamma}(0) - \right. \\
 &\quad \left. - \Sigma'_{AA}(M_A^2) \right] - \frac{vs_w c_\beta}{M_Z^2 c_w} \Re \Sigma_{\gamma Z}(0) + \frac{vc_{2\beta}}{2M_Z s_\beta} \Re \Sigma_{AZ}(M_A^2), & \delta v_2 &= \tan \beta \delta v_1, \\
 \delta m_1^2 &= \frac{c_\beta}{2v} \left[3s_\alpha - s_{(\alpha-2\beta)} \right] T_h - \frac{c_\beta}{2v} \left[3c_\alpha - c_{(\alpha-2\beta)} \right] T_H + \frac{1}{4} \left[1 - \frac{s_{3\beta}}{s_\beta} \right] \Re \Sigma_{ZZ}(M_Z^2) +
 \end{aligned} \tag{17}$$

$$\begin{aligned}
 & +s_\beta^2 \Re \Sigma_{AA}(M_A^2) - \frac{1}{2} [M_A^2 - (M_Z^2 + M_A^2)c_{2\beta}] \Sigma'_{AA}(M_A^2) - \frac{M_Z}{2t_\beta} \Re \Sigma_{AZ}(M_A^2), \\
 \delta m_2^2 = & -\frac{s_\beta}{2v} [3c_\alpha + c_{(\alpha-2\beta)}] T_h - \frac{s_\beta}{2v} [3s_\alpha + s_{(\alpha-2\beta)}] T_H - \frac{1}{4} \left[1 - \frac{s_{3\beta}}{s_\beta} \right] \Re \Sigma_{ZZ}(M_Z^2) + \\
 & +c_\beta^2 \Re \Sigma_{AA}(M_A^2) - \frac{1}{2} [M_A^2 + (M_Z^2 + M_A^2)c_{2\beta}] \Sigma'_{AA}(M_A^2) + \frac{M_Z t_\beta}{2} \Re \Sigma_{AZ}(M_A^2), \\
 \delta m_{12}^2 = & \frac{1}{4v} [c_{(\alpha-3\beta)} + 3c_{(\alpha+\beta)}] T_h + \frac{1}{4v} [s_{(\alpha-3\beta)} + 3s_{(\alpha+\beta)}] T_H + \frac{1}{2} s_{2\beta} \Re \Sigma_{AA}(M_A^2) - \\
 & -\frac{1}{2} M_A^2 s_{2\beta} \Sigma'_{AA}(M_A^2), \quad \text{где } T_h = \sum_{k,\{l\}} T_{k,\{l\}}^h, \quad T_H = \sum_{k,\{l\}} T_{k,\{l\}}^H. \quad (18)
 \end{aligned}$$

IV. Представление контрчленов для собственных энергий, энергий смешивания, вершинных функций трехчастичного взаимодействия БХ в терминах неперенормированных собственных энергий, энергий смешивания и однопетлевых вкладов типа "головастик":

$$\begin{aligned}
 \delta\Gamma_{hhh} &= \frac{3}{2}\lambda_0 \left[c_{2\alpha} s_{(\alpha+\beta)} \mathcal{F}_1 + \frac{1}{2} \left[-s_{(\alpha-3\beta)} + 3s_{(3\alpha-\beta)} - 7s_{(\alpha+\beta)} + s_{(3(\alpha+\beta))} \right] \mathcal{F}_2 \right], \\
 \delta\Gamma_{hhH} &= \frac{1}{4}\lambda_0 \left[\left[c_{(\alpha-\beta)} - 3c_{(3\alpha+\beta)} \right] \mathcal{F}_1 + \left[c_{(\alpha-3\beta)} - 9c_{(3\alpha-\beta)} + 7c_{(\alpha+\beta)} - 3c_{(3(\alpha+\beta))} \right] \mathcal{F}_2 \right], \\
 \delta\Gamma_{hHH} &= -\frac{1}{4}\lambda_0 \left[\left[s_{(\alpha-\beta)} + 3s_{(3\alpha+\beta)} \right] \mathcal{F}_1 + \left[s_{(\alpha-3\beta)} + 9s_{(3\alpha-\beta)} + 7s_{(\alpha+\beta)} + 3s_{(3(\alpha+\beta))} \right] \mathcal{F}_2 \right], \\
 \delta\Gamma_{HHH} &= \frac{3}{2}\lambda_0 \left[c_{2\alpha} c_{(\alpha+\beta)} \mathcal{F}_1 + \frac{1}{2} \left[c_{(\alpha-3\beta)} + 3c_{(3\alpha-\beta)} + 7c_{(\alpha+\beta)} + c_{(3(\alpha+\beta))} \right] \mathcal{F}_2 \right]. \\
 \delta\Gamma_{hAA} &= \frac{1}{2}\lambda_0 \left[c_{2\beta} s_{(\alpha+\beta)} \mathcal{F}_1 + \frac{1}{2} \left[3s_{(\alpha-3\beta)} + s_{(\alpha+5\beta)} \right] \mathcal{F}_2 \right], \\
 \delta\Gamma_{HAA} &= -\frac{1}{2}\lambda_0 \left[c_{2\beta} c_{(\alpha+\beta)} \mathcal{F}_1 + \frac{1}{2} \left[3s_{(\alpha-3\beta)} + s_{(\alpha+5\beta)} \right] \mathcal{F}_2 \right], \\
 \mathcal{F}_1 &= \frac{1}{M_Z^2 s_w^2} (-1 + 3s_w^2) \Re \Sigma_{ZZ}(M_Z^2) + \frac{1}{M_W^2 s_w^2} (1 - 2s_w^2) \Re \Sigma_{WW}(M_W^2) + \Sigma'_{\gamma\gamma}(0) - \\
 &- \frac{2s_w}{M_Z^2 c_w} \Re \Sigma_{\gamma Z}(0) - 3\Sigma'_{AA}(M_A^2), \quad \mathcal{F}_2 = \frac{1}{M_Z s_{2\beta}} \Re \Sigma_{AZ}(M_A^2). \tag{19}
 \end{aligned}$$

Задача № 3. Алгебраическая редукция скалярных интегралов

Тенденции в построении алгоритмов вычисления

Построение обобщенных аналитических структур – результатов расчета указанных интегралов

Решение проблем численного интегрирования. Адаптация аналитических решений к машинным кодам

☞ Основное количество технических проблем в численном интегрировании обусловлено

- трудностями учета большого многообразия свойств специальных функций при написании программ, способствующих редукции итогового результата;
- Для выполнения процедуры перенормировки необходима дифференциация результата на действительную и мнимую части, что, как правило, не имеет места в представлениях результатов предшественников;
- в традиционных алгоритмах редукции интеграла нередко проводятся замены переменных, справедливые лишь при определенных значениях параметров преобразования. Выход за пределы области допустимых значений приводит к появлению сингулярных результатов, неустраняемых программой автоматически;
- непреднамеренным выходом в комплексную плоскость переменной интегрирования, когда это можно избежать, тем самым уменьшить ошибку вычислений;

Необходимо построить новое представление для интегралов B_0 , C_0 , удобное в применении используемой схемы перенормировки и для построения компьютерных программ расчета.

Общая схема расчета скалярных интегралов

1. Переход в \mathcal{D} - мерное пространство
2. Параметризация Фейнмана
3. Поворот Вика. Интегрирование в \mathcal{D} - мерном евклидовом пространстве
4. Предельный переход $\mathcal{D} \rightarrow 4$. Дифференциация результата
5. Редукция конечной части интеграла – ряд алгебраических преобразований, процедуры вычисления интегралов, сведение к набору специальных функций.
 - необходимо провести детальный анализ поведения подинтегральной функции и выявить возможные варианты вычисления первообразной, соответствующие определенным областям пространства параметров скалярного интеграла;
 - вычисляем первообразные в каждом возможном варианте, избегая по возможности выхода в комплексную плоскость переменной интегрирования;
 - решение в каждом варианте представляется в дифференцированной форме - в виде суммы действительной и мнимой части. Итоговый результат представляется деревом всевозможных редуцированных решений.

Двухточечный скалярный интеграл B_0

$$\frac{i}{16\pi^2} B_0(p^2, m_1^2, m_2^2) = \int \frac{d^4 q}{(2\pi)^4} \frac{1}{(q^2 - m_1^2 + i\delta)((q+p)^2 - m_2^2 + i\delta)}. \quad (20)$$

⇒ Предельный переход

$$B_0(p^2, m_1^2, m_2^2) = \lim_{D \rightarrow 4} B_0^D(p^2, m_1^2, m_2^2) = [\Delta_\varepsilon + \ln \mu^2 - \mathcal{I}(p^2, m_1^2, m_2^2)], \quad (21)$$

$$\mathcal{I}(p^2, m_1^2, m_2^2) = \int_0^1 dx \ln [M^2] = \int_0^1 dx \ln [ax^2 + bx + c], \quad (22)$$

$$a = p^2, \quad b = -(p^2 + m_1^2 - m_2^2), \quad c = m_1^2. \quad (23)$$

⇒ Редукция конечной части

$$\mathcal{I} = \left\{ \begin{array}{l} \text{если } a \neq 0; b, c \in \mathfrak{R}, \text{ то } \mathcal{I}_1 = \left\{ \begin{array}{l} \mathcal{I}_{11}, (85), \text{ если } \mathfrak{D} \geq 0, \\ \mathcal{I}_{12}, (87), \text{ если } \mathfrak{D} < 0 \end{array} \right\}, \\ \text{если } a = 0, b \neq 0, c \in \mathfrak{R}, \text{ то } \mathcal{I}_2, (89), \\ \text{если } a, b = 0, c \neq 0, \text{ то } \mathcal{I}_3, (90) \end{array} \right\} \quad (24)$$

$$\mathcal{I}_{11} = \ln |a| + i\pi\theta(-a) - 2 + \sum_{i=1}^2 [(1 - x_i) \ln |1 - x_i| + x_i \ln |x_i| + \quad (25)$$

$$+ i\pi [\theta(x_i - 1 - \epsilon_i) + x_i\theta(x_i)\theta(1 - x_i)]], \quad (26)$$

$$x_{1,2} = -\frac{b}{2a} \pm \frac{1}{2a} \sqrt{b^2 - 4ac} = \frac{1}{2} + \frac{m_1^2 - m_2^2}{2p^2} \pm \frac{1}{2p^2} \sqrt{\lambda(p^2, m_1^2, m_2^2)}, \quad (27)$$

$$\lambda(x, y, z) = x^2 + y^2 + z^2 - 2xy - 2xz - 2yz; \quad (28)$$

$$\begin{aligned} \mathcal{I}_{12} = & \ln |a| + \left(1 + \frac{b}{2a}\right) \ln \left[1 + \frac{b}{a} + \frac{c}{a}\right] - \frac{b}{2a} \ln \frac{c}{a} - 2 + \\ & + \frac{\sqrt{-\lambda(p^2, m_1^2, m_2^2)}}{a} \left[\operatorname{arctg} \left[\frac{b+2a}{\sqrt{-\lambda(p^2, m_1^2, m_2^2)}} \right] - \operatorname{arctg} \left[\frac{b}{\sqrt{-\lambda(p^2, m_1^2, m_2^2)}} \right] \right] + i\pi\theta(-a); \end{aligned} \quad (29)$$

$$\begin{aligned} \mathcal{I}_2 = & \int_0^1 dx \ln [bx + c] = \ln |b| + \left(1 + \frac{c}{b}\right) \ln \left|1 + \frac{c}{b}\right| - \frac{c}{b} \ln \left|\frac{c}{b}\right| - 1 + \\ & + i\pi \left[1 + \theta(-b) - \theta\left(1 + \frac{c}{b} + \epsilon\right) - \frac{c}{b} \theta\left(-\frac{c}{b}\right) \theta\left(1 + \frac{c}{b}\right)\right]; \end{aligned} \quad (30)$$

$$\mathcal{I}_3 = \int_0^1 dx \ln |c| = \ln |c| + i\pi\theta(-c). \quad (31)$$

С использованием результатов решений первых трех задач решены следующие три задачи.

Задача № 4. Расчет констант взаимодействия

Расчет констант трехчастичного взаимодействия выполнен в ряде работ, например

- РГП:

[2] Haber H.E. and Hempfling R. // Phys. Rev. Lett. 1991. V. 66. P. 1815;

[3] Haber H.E., Hempfling R., Nir Y. // Phys. Rev. D 1992. V. 46. P. 3015;

[4] Okada Y., Yamaguchi M. and Yanagida T. // Prog. Theor. Phys. 1991. V. 85. P. 1.

- ПЭП:

[5] Barger V., Berger M. S., Stange A. L. and Phillips R. J. N. Supersymmetric higgs boson hadroproduction and decays including radiative corrections // Phys. Rev. D 1992. V. 45. P. 4128-4147;

[6] Osland P., Pandita P. N. Measuring the trilinear couplings of MSSM neutral higgs bosons at high-energy $e^+ e^-$ colliders // Phys. Rev. 1999. D V. 59. P. 055013.

- ФДП:

[7] Hollik W., Penaranda S. // Eur. Phys. J. 2002. C 23. P. 163.

[8] Brignole A., Zwirner F. // Phys. Lett. B 1993. V. 299. P. 72.

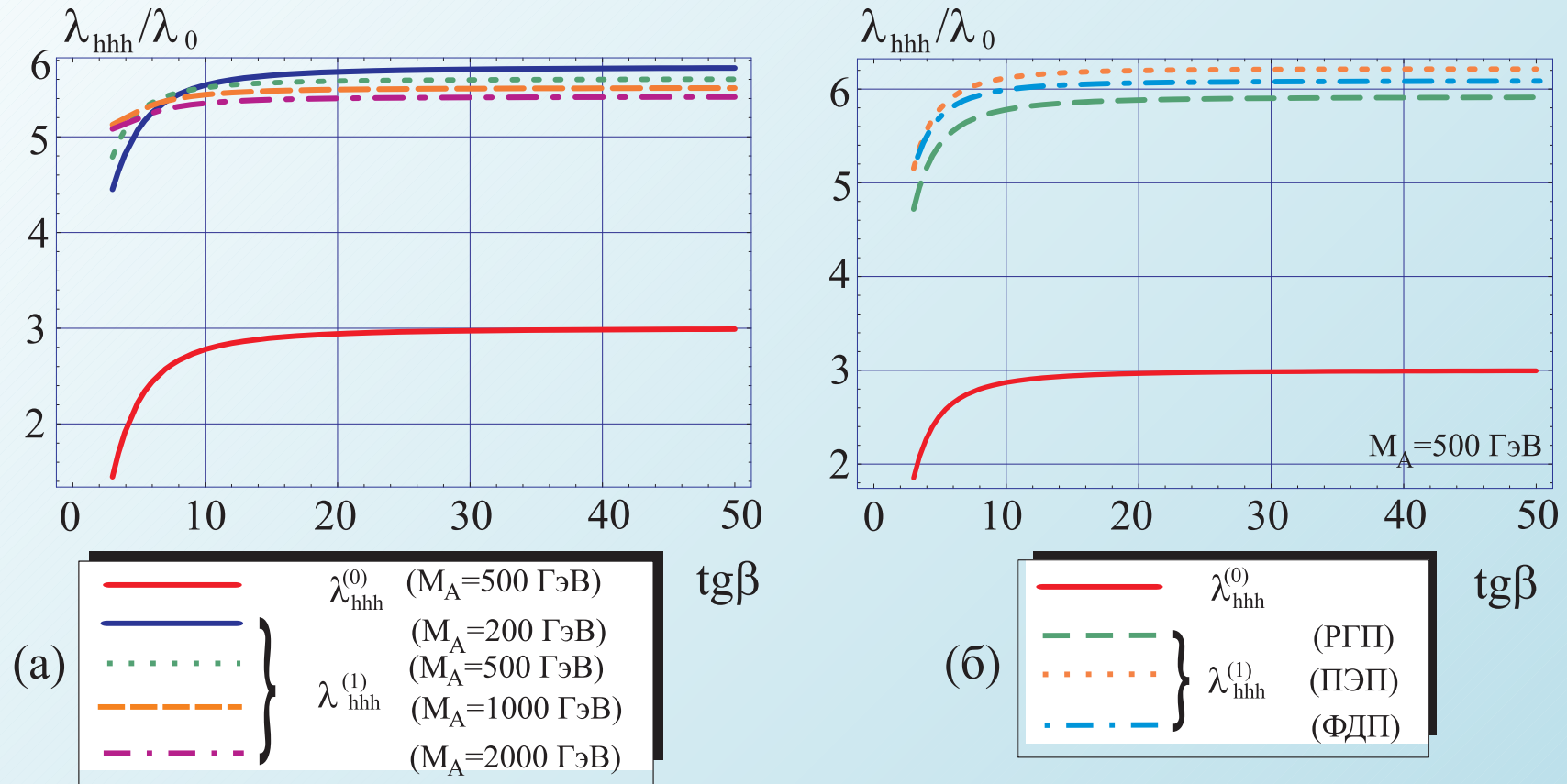


Рис. 1: Зависимость от $\text{tg}\beta$ константы λ_{hhh} , (в единицах λ_0) с учетом (а) юкавских однопетлевых поправок ($t - b - \tau - c$ -петель) с использованием ФДП, (б) юкавских t -поправок в РГП и ПЭП и полном однопетлевом приближении (ФДП) при $A_f = 1$ ТэВ, $\mu = 0.5$ ТэВ, $M_{\tilde{Q}} = M_{\tilde{U}} = M_{\tilde{D}} = M_{\tilde{L}} = M_{\tilde{R}} = 1$ ТэВ.

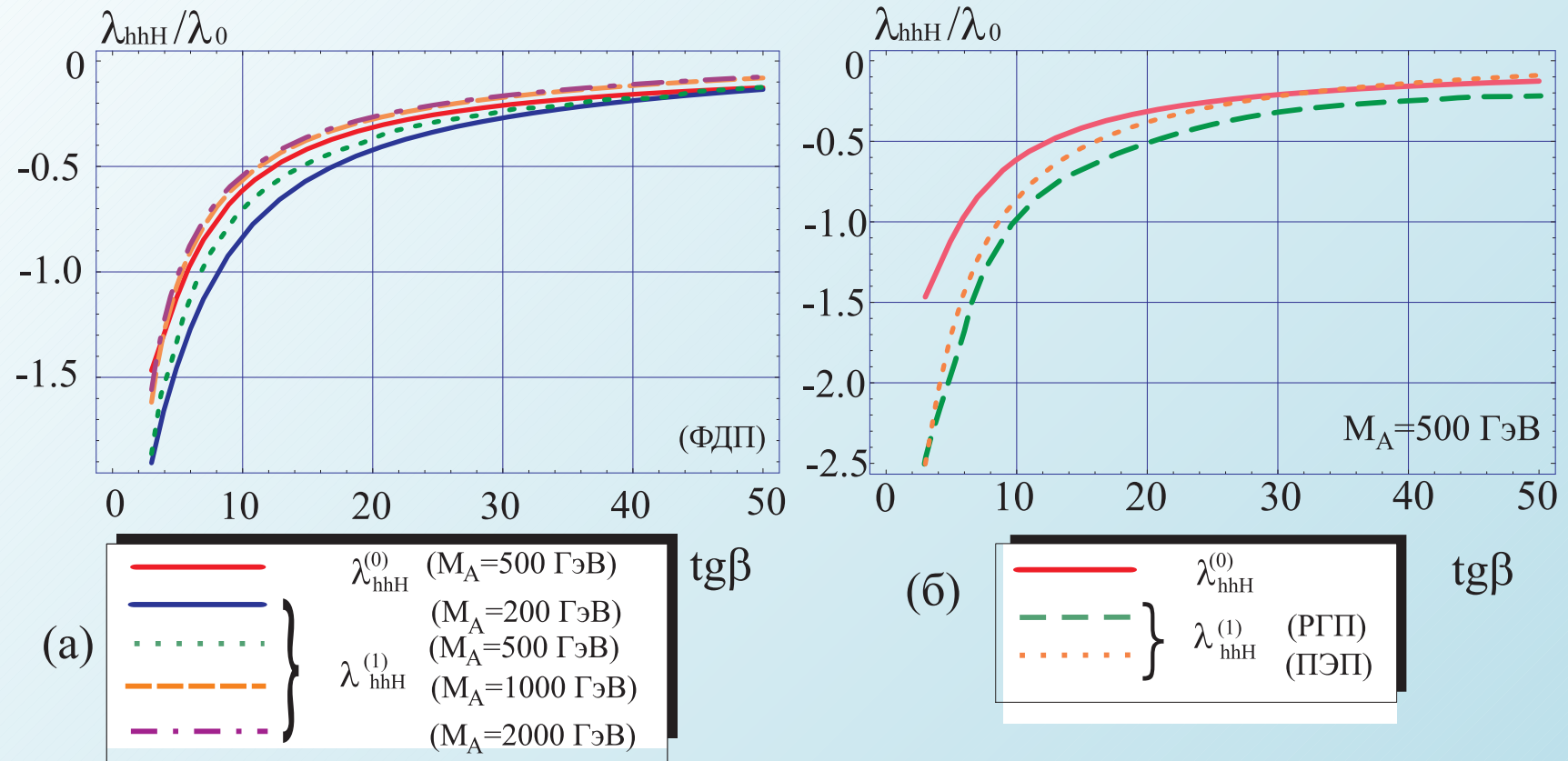


Рис. 2: Зависимость от $\text{tg}\beta$ константы λ_{hhH} , (в единицах λ_0) с учетом (а) юкавских однопетлевых поправок ($t - b - c - \tau$ - петель) с использованием ФДП, (б) юкавских t - поправок в РГП и ПЭП при $A_f = 1$ ТэВ, $\mu = 0.5$ ТэВ, $M_{\tilde{Q}} = M_{\tilde{U}} = M_{\tilde{D}} = M_{\tilde{L}} = M_{\tilde{R}} = 1$ ТэВ.

Задача № 5. Расчет ширины распада $H \rightarrow hh$

Ширина распада $\Gamma(H \rightarrow hh)$ была исследована как с учетом $t - \tilde{t}$ – поправок [6], с учетом $t - \tilde{t}$, $b - \tilde{b}$ – поправок [8].

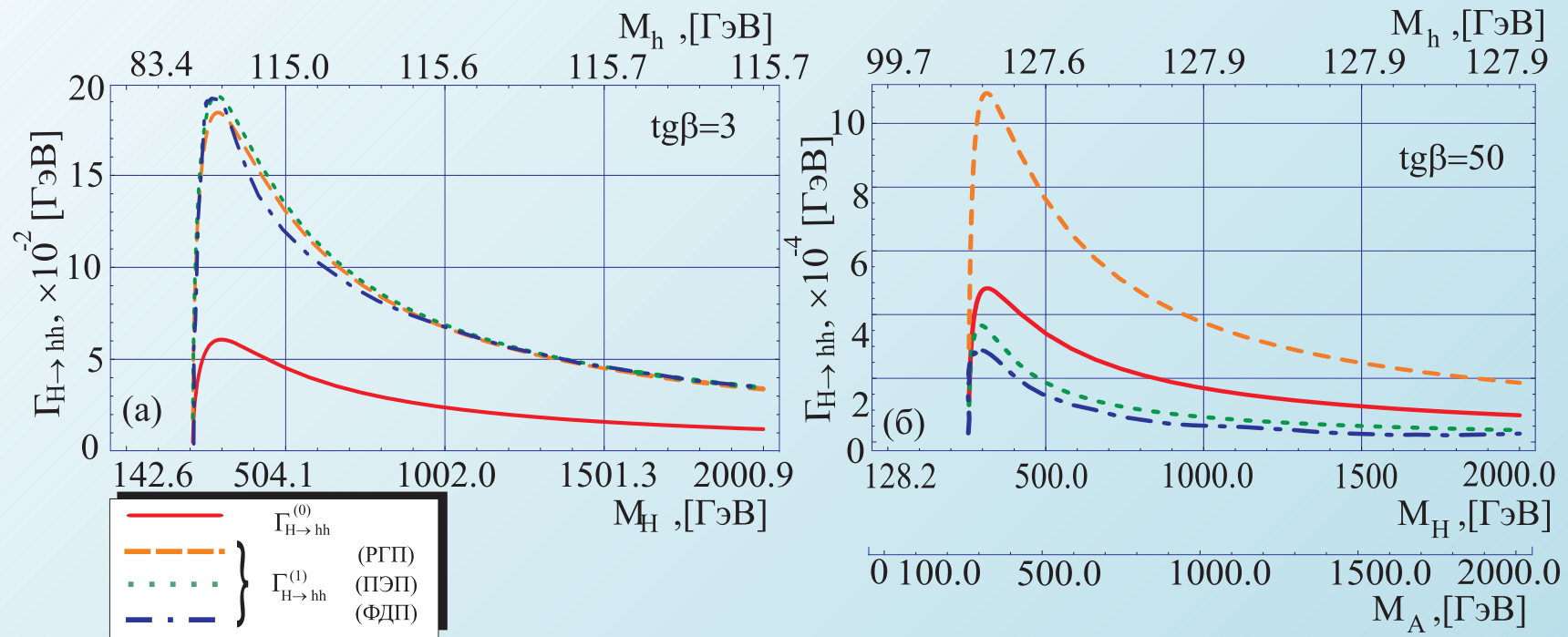


Рис. 3: Зависимость ширины распада $\Gamma(H \rightarrow hh)$ от массы БХ при (а) $\text{tg}\beta = 3$, (б) $\text{tg}\beta = 50$ и $A_f = 1 \text{ ТэВ}$, $\mu = 0.5 \text{ ТэВ}$, $M_{\tilde{Q}} = M_{\tilde{U}} = M_{\tilde{D}} = M_{\tilde{L}} = M_{\tilde{R}} = 1 \text{ ТэВ}$.

Задача № 6. Расчет сечений рождения пары БХ

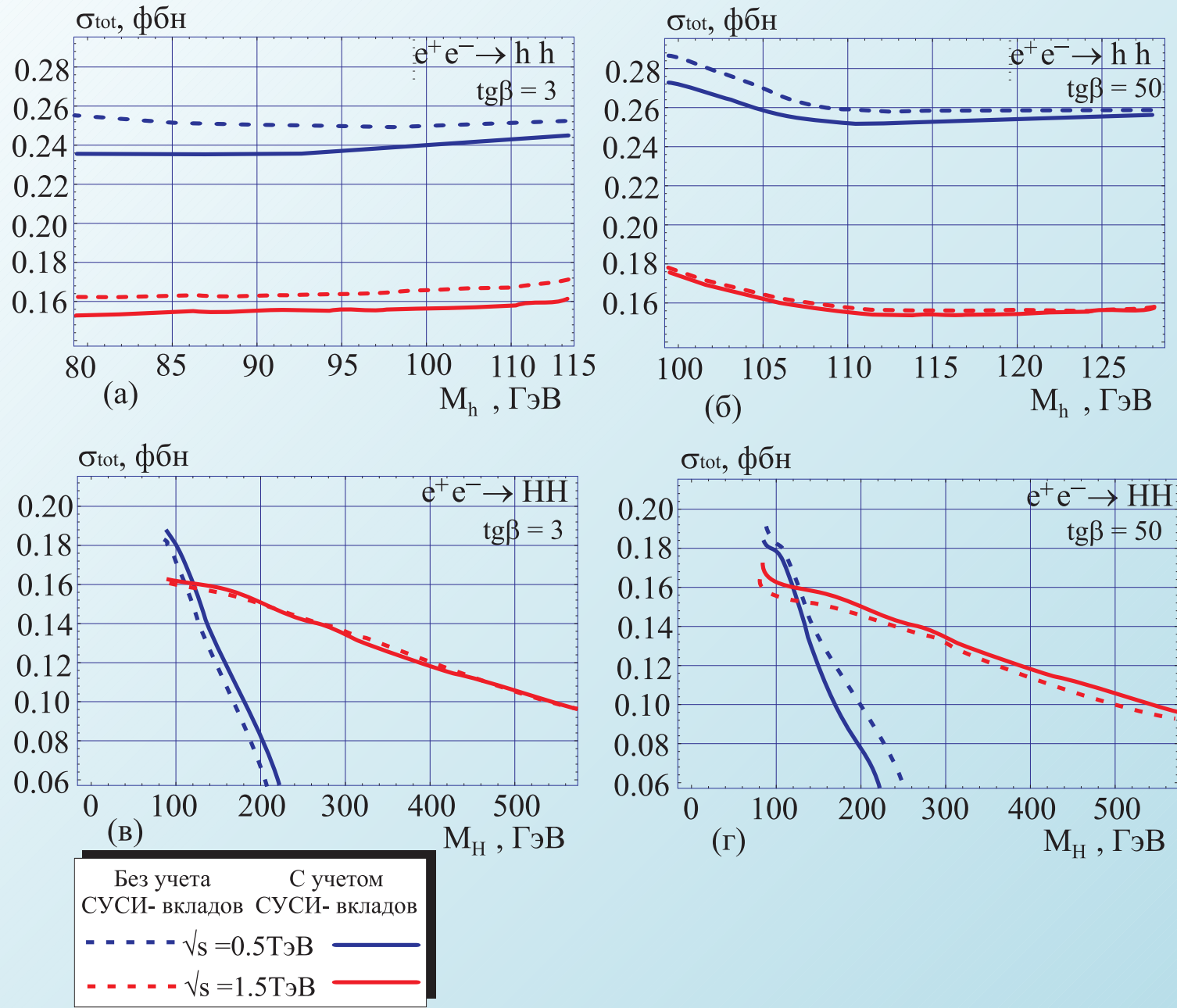
☞ Необходимость в расчете $e^+e^- \rightarrow H_i H_j (AA)$ в высших порядках ТВ диктуется необходимостью определения констант взаимодействия.

Расчет в данной работе был выполнен при следующих условиях:

- Значения m_f, M_W, M_Z, g_2 из [10] Eidelman S. et. al. Review of particle physics. Particle data group // Phys. Lett. B 2004. V. 592. P. 1.
- $M_{\tilde{Q}} = M_{\tilde{U}} = M_{\tilde{D}} = M_{\tilde{L}} = M_{\tilde{R}} = A_f = 1$ ТэВ.
- $\tan \beta \in (3, 50)$ и $M_A \in (90, 2000)$ ГэВ.
- Значение $M_2 = 250$ ГэВ, и $M_1 = \frac{5}{3} \tan^2 \theta_W M_2, \mu = 500$ ГэВ.
- $\sqrt{s} = 0.5, 1.5$ ТэВ.
- Точные выражения для масс $(\tilde{f}_i, \tilde{\chi}_j^+, [i = 1, 2], \tilde{\chi}_k^0, [k = 1, \dots, 4])$.

Результат	Количество событий			
	$e^+e^- \rightarrow hh$ ($M_h = 115$ ГэВ)	$e^+e^- \rightarrow HH$ ($M_H = 120$ ГэВ)	$e^+e^- \rightarrow AA$ ($M_A = 120$ ГэВ)	$e^+e^- \rightarrow hH$ ($M_H = 190$ ГэВ)
наш	520	320	300	28
[9]	380	400	200	20

Таблица 2: количества событий для исследуемых процессов, полученных в настоящей работе и работе [9] Djouadi A., Driesen V. and Jünger C. Loop induced Higgs boson pair production at e^+e^- Colliders // Phys. Rev. D 1996. V. 54. P. 759-769. при $\sqrt{s} = 500$ ГэВ, $\text{tg } \beta = 50$ и интегральной светимости $\int \mathcal{L} = 500$ фбн⁻¹.



Резюме по задаче № 6:

- ☞ Сечение процесса $e^+e^- \rightarrow hh$ является наибольшим среди прочих. Для продольно поляризованных e^+e^- - пучков, интегральной светимости $\int \mathcal{L} \geq 500 \text{ фбн}^{-1}$ и энергии $\sqrt{s} = 500 \text{ ГэВ}$ возможно производство около $5 \cdot 10^2$ таких событий. Для процессов $e^+e^- \rightarrow HH, AA$ при тех же условиях рождение составит не более $4 \cdot 10^2$ событий. И даже при массах БХ $M_{H,A} \leq 500 \text{ ГэВ}$ возможно накопление ≥ 200 событий.
- ☞ В силу того, что конечные состояния являются чистыми есть серьезные основания полагать, что сигналы указанных выше процессов будут детектированы. Процесс $e^+e^- \rightarrow hH$, не будет зафиксирован на эксперименте в силу малости его сечения.

Заключение

Для решения проблемы высокоточного определения констант взаимодействия нейтральных бозонов Хиггса МССМ в диссертации получены следующие результаты:

1. В рамках фейнмановского диаграммного подхода с использованием калибровки т'Хоофта-Фейнмана был развит *подход базисных диаграмм Фейнмана*. Выполнена систематизация всевозможных одно-четырёхточечных однопетлевых диаграмм Фейнмана по базисным диаграммам. Данным диаграммам сопоставлены аналитические выражения, которые с использованием стандартной техники тензорной, размерной и алгебраической редукции представлены в виде суперпозиции дираковских матричных структур, где коэффициентами разложения являются линейные комбинации минимального набора стандартных скалярных интегралов.
2. Дано новое представление результатов алгебраической редукции скалярных интегралов B_0 , C_0 , которое является удобным для использования процедуры перенормировки и численного расчета.

3. В рамках On-shell-схемы перенормировки впервые получены аналитические выражения контрчленов для следующих объектов: а) одноточечных ВФ бозонов Хиггса h, H ; б) собственных энергий γ, W, Z -калибровочных бозонов, h, A, H -бозонов Хиггса; в) энергий смешивания $\gamma - Z, h - H, A - Z$; г) шести констант трехчастичного взаимодействия нейтральных БХ МССМ. Выражения для контрчленов использованы при построении перенормированной амплитуды распада $H \rightarrow hh$.

4. В рамках ФДП впервые выполнен расчет шести констант трехчастичного взаимодействия нейтральных БХ ($\lambda_{hhh}, \lambda_{hhH}, \lambda_{hHH}, \lambda_{HHH}, \lambda_{hAA}, \lambda_{HAA}$) в однопетлевом приближении с учетом $t\tilde{t}$ -, $b\tilde{b}$ -, $c\tilde{c}$ -, $\tau\tilde{\tau}$ -петель. Проведен сравнительный анализ новых результатов с результатами предшественников, полученных лишь с учетом $t\tilde{t}$ -, $b\tilde{b}$ -петель. Показано, что в определенной области пространства параметров данные поправки значительны, поэтому их учет необходим для высокоточного определения констант взаимодействия.

5. В рамках ФДП впервые выполнен расчет ширины распада $\Gamma(H \rightarrow hh)$ с учетом $t\tilde{t}$ -, $b\tilde{b}$ -, $c\tilde{c}$ - $\tau\tilde{\tau}$ -петель. Выполнен сравнительный анализ новых результатов с результатами предшественников, полученных лишь с учетом $t\tilde{t}$ -, $b\tilde{b}$ -петель. Показано, что при $\tan\beta \leq 10$ и массе $M_A \leq 1$ ТэВ) новые результаты в 2-2.8 раза превосходят соответствующие древесные значения. Это увеличивает вероятность детектирования сигналов соответствующих процессов и, следовательно, вероятность высокоточного определения констант взаимодействия.

6. Проведен расчет амплитуд и полных сечений процессов $e^+e^- \rightarrow hh$, $e^+e^- \rightarrow hH$, $e^+e^- \rightarrow HH$, $e^+e^- \rightarrow AA$ в полном однопетлевом приближении в рамках ФДП. Показано, что сечение процесса $e^+e^- \rightarrow hh$ достигает максимального значения среди прочих процессов. Для случая продольно поляризованных e^+e^- -пучков, интегральной светимости $\int \mathcal{L} \geq 500$ фбн⁻¹, и энергии $\sqrt{s} = 500$ ГэВ возможно рождение около $5 \cdot 10^2$ таких событий. Для процессов $e^+e^- \rightarrow HH$, AA рождение при тех же условиях составит не более $4 \cdot 10^2$ событий. И даже при массах БХ $M_{H,A} \leq 500$ ГэВ, возможно накопление не менее 200 таких событий. В силу того, что конечные состояния являются чистыми, есть основания полагать, что сигналы указанных выше процессов будут детектированы. Процесс $e^+e^- \rightarrow hH$, имеет малое сечение, что существенно затрудняет детектирование искомого сигнала.

Точные результаты для сечений данных процессов позволят более точно определить сечения процессов WW – аннигиляции (альтернативного класса процессов по шкале энергии, значения сечений которых того же порядка, что и у рассмотренных процессов) на основе экспериментальных данных о количестве наблюдавшихся событий, а, следовательно, и сделать более точное предсказание значений констант взаимодействия.

Благодарю за внимание!

Подробности

Адреса сайтов на которых представлены работы соискателя

- Кафедра общей и теоретической физики СамГУ:
<http://www.ssu.samara.ru/teorphys/>
- Редакция естественно-научно серии журнала «Вестник СамГУ», раздел физика:
<http://www.ssu.samara.ru/vestnik/est/content/phys.html>
- Web-сайт соискателя: <http://www.yuphil.front.ru>

Механизм Хиггса

- [2] Goldstone J. Field theories with "superconductor"solutions // Nuovo Cimento. – 1961. – V. 19. – P. 154-164.
- [3] Nambu Y., Jona-Lasinio G. Dynamical model of elementary particles based on an analogy with superconductivity. I // Phys. Rev. – 1961. – V. 122. – P. 345-358.
- [4] Goldstone J., Salam A., Weinberg S. Broken symmetries // Phys. Rev.– 1962. – V. 127. – P. 965-970.
- [5] Higgs P.W. Broken symmetries, massless particles and gauge fields // Phys. Lett. – 1964. – V. 12. – P. 132-133.
- [6] Brout R., Englert E. Broken symmetry and the mass of gauge vector mesons // Phys. Rev. Lett. – 1964. – V. 13. – P. 321-322.
- [7] Higgs P.W. Broken symmetries and the masses of gauge bosons // Phys. Rev. Lett. – 1964. – V. 13. – P. 508-509.
- [8] Guralnik G.S., Hagen C.R., Kibble T.W.B. Global conservation laws and massless particles // Phys. Rev. Lett. – 1964. – V. 13. – P. 585-587.
- [9] Higgs P.W. Spontaneous symmetry breakdown without massless bosons // Phys. Rev. 1966. – V. 145. – P. 1156-1163.
- [10] Kibble T.W.B. Symmetry breaking in nonabelian gauge theories // Phys. Rev. – 1967. – V. 155. – P. 1554-1561.

Научная новизна результатов работы

1. В рамках фейнмановского диаграммного подхода с использованием калибровки т'Хоофта-Фейнмана сформулирован новый *подход базисных диаграмм Фейнмана* (БДФ), основанный на обобщении стандартных правил Фейнмана СМ и МССМ. Выполнена систематизация всех фейнмановских сильносвязных однопетлевых диаграмм по указанным БДФ. Результаты для однопетлевых вкладов в одно-, двух-, трех-, четырехточечные ВФ представлены в виде суперпозиции дираковских матричных структур. При этом коэффициентами разложения являются линейные комбинации минимального набора стандартных скалярных интегралов.

2. При реализации программы On-shell-перенормировки аналитически решена система 11 линеаризованных уравнений, определяемых условиями перенормировки, относительно переменных δm_1^2 , δm_2^2 , δm_{12}^2 , δv_1 , δv_2 , Z_{H_1} , Z_{H_2} , Z_1^B , Z_2^B , Z_1^W , Z_2^W . Полное решение системы впервые представлено в редуцированном явном виде. Контрчлены для констант

взаимодействия, собственных энергий и энергий смешивания БХ получены в аналитической форме, в наиболее общем виде.

3. В работе дано новое представление результатов алгебраической редукции скалярных функций B_0 , C_0 . Предложенное представление является удобным для использования процедуры перенормировки и численного расчета.

4. В данной работе впервые построены аналитические выражения для шести констант трехчастичного взаимодействия нейтральных бозонов Хиггса МССМ и ширины распада $H \rightarrow hh$, в первом порядке теории возмущений, с учетом $t\tilde{t}$ - , $b\tilde{b}$ - , $c\tilde{c}$ - $\tau\tilde{\tau}$ - петель, в рамках ФДП.

5. Впервые построены и представлены в явном виде аналитические выражения для амплитуд и полных сечений процессов $e^+e^- \rightarrow hh$, $e^+e^- \rightarrow hH$, $e^+e^- \rightarrow HH$, $e^+e^- \rightarrow AA$ в рамках модели МССМ с учетом полного набора однопетлевых диаграмм. Проведена оценка роли петлевых вкладов суперсимметричных частиц в определении итогового результата.

Практическая значимость работы.

Полученные результаты и подходы могут быть использованы для интерпретации результатов экспериментов по изучению природы и свойств БХ, для определения значений свободных параметров модели или области их допустимых значений. Разработанные алгоритмы и подходы весьма адаптивны к составлению компьютерных программ.

Апробация работы. Основные результаты настоящей работы докладывались и обсуждались автором на следующих научных семинарах и конференциях:

- XVII, XVIII Международных семинарах по физике высоких энергий и квантовой теории поля (QFTHEP) (Самара-Волгоград, плавучий пансионат К. Готвальд, 2003; Санкт-Петербург, 2004);
- научной конференции секции ядерной физики ОФН РАН "Физика фундаментальных взаимодействий" (Москва, ИТЭФ, 2002, 2005);
- международном семинаре "Selected Problems of Modern Physics" (Саратов, 2003);
- шестой международной школе, посвященной вопросам физики высоких энергий ИТЭФ (Москва, ИТЭФ, 2003);
- учебно-методич. конференции "Межсессионная работа со студентами: традиционные и новые формы" (Самара, СамГУ, 2001);
- "Прикладные математические задачи в машиностроении и экономике", научно-

практической конференции посвященной памяти профессора Кудряшева Л.И. (Самара, СГАУ, СамГУ СГЭА, 2001).

- научном семинаре "Проблемы связанных состояний в квантовой теории поля" (Самара, МГУ, СамГУ, 2004);
- конференции "Концепции симметрии и фундаментальных полей в квантовой физике XXI века" (Самара, СамГУ, 2005);
- конференции "Проблемы фундаментальной физики XXI века" (Самара, СамГУ, 2005);
- второй всероссийской школе "Физика фундаментальных взаимодействий", посвященной вопросам физики высоких энергий (Протвино, фонд "Династия", 2006);
- научных конференциях преподавателей и сотрудников Самарского гос. ун-та (Самара, СамГУ, 2003-2006);
- научных семинарах кафедры общей и теоретической физики (Самара, СамГУ, 2001-2007).

По результатам исследований имеется 18 публикаций:

I. Статьи в журналах:

1. Долгополов М.В, Филиппов Ю.П. Вершинные функции взаимодействия нейтральных бозонов Хиггса h^0 , H^0 в МССМ: однопетлевой анализ // ЯФ. – 2004. – Т.67. – № 3. – С. 609–613.

2. Филиппов Ю.П. Юкавские радиационные поправки к каплингам трехчастичного взаимодействия нейтральных CP -четных бозонов Хиггса и ширине распада $H \rightarrow hh$ в МССМ // ЯФ. – 2007. – Т. 70 – № 6. Принята в печать; Philippov Yu. Yukawa radiative corrections to the trilinear self-couplings of neutral CP -even Higgs bosons and decay width $\Gamma(H \rightarrow hh)$ in the MSSM / Yu. Philippov // eprint: hep-ph/0611260. 12p.
3. Долгополов М.В., Дубинин М.Н., Смирнов И.А., Филиппов Ю.П. Суперсимметричная модель с нарушением CP -инвариантности. 2 Парное рождение нейтральных бозонов Хиггса на LHC // Вестн. Самарск. гос. ун-та. Спец. выпуск. – 2003. – С. 131–148.
4. Dolgoplov M.V., Philippov Yu.P. The trilinear neutral Higgs self-couplings in the MSSM. Complete one-loop analysis // Вестн. Самарск. гос. ун-та. 2-й спец. выпуск. – 2003. – С. 87–95; eprint: hep-ph/0310263. 6p.
5. Филиппов Ю.П. Исследование трехчастичного взаимодействия нейтральных бозонов Хиггса МССМ с учетом юкавских однопетлевых поправок // Вестн. Самарск. гос. ун-та. – 2006. – № 3(43). – С. 167–178.
6. Филиппов Ю.П. Вершинные функции самодействия CP -четных нейтральных бозонов Хиггса (h^0, H^0) в модели МССМ: однопетлевой анализ // Аспирант. вестн. Поволжья. – 2002. – № 2. – С. 64–66.
7. Филиппов Ю.П. Метод ветвления в вычислении скалярных N - точечных интегралов // Теор. физика. – 2004. – № 5. – С. 66–80.
8. Филиппов, Ю.П. Новое представление результатов алгебраической редукции B_0, C_0 скалярных интегралов // Теор. физика. – 2005. – № 6. – С. 86–97.
9. Филиппов, Ю.П. Ширина распада $H \rightarrow hh$ в МССМ с учетом юкавских радиационных поправок // Теор. физика. – 2006. – № 7. Принята в печать.

II. В трудах международных и всероссийских конференций:


1. Dolgoplov M.V., Philippov Yu.P. The trilinear neutral Higgs self-couplings in the MSSM. Complete one-loop analysis // Proceedings of the XVII International Workshop QFTHEP'2003. – MSU, SINP. – P. 170–175.
2. Philippov Yu.P. The decay $H \rightarrow hh$ in the MSSM. Complete one-loop analysis // Proceedings of the XVIII International Workshop QFTHEP'2004. – MSU, SINP. – P. 172–177.
3. Филиппов, Ю.П. Однопетлевые фермионные и сфермионные вклады в двух-, трех- и четырехточечные функции Грина // V научная конференция молодых ученых и специалистов ОИЯИ: тез. докл. Дубна: ОИЯИ, 2001. – С.144–146.
4. Филиппов Ю.П. Вершинные функции трехчастичного взаимодействия нейтральных бозонов Хигга в модели МССМ: однопетлевой анализ // VII научная конференция молодых ученых и специалистов ОИЯИ: тез. докл. Дубна: ОИЯИ, 2003. – С.191–194.
5. Бачурина А.В., Долгополов М.В., Ивушкин А.Н., Филиппов Ю.П. Квантовые поправки к массам калибровочных бозонов и оценка на массу хиггсовского бозона // Науч.-практич. конф., посвящ. памяти проф. Л.И. Кудряшева: сб. докл., ч. 1. Самара: Изд-во СГАУ, СамГУ, СГЭА, 2001. – С. 15–17.
6. Долгополов В.М., Долгополов М.В., Филиппов Ю.П. Однопетлевые интегралы для фермионных вкладов // Науч.-практич. конф., посвящ. памяти проф. Л.И. Кудряшева: сб. докл., ч. 1. Самара: Изд-во СГАУ, СамГУ, СГЭА, 2001. – С.17–18.
7. Долгополов М.В., Филиппов Ю.П. Развитие стандартной модели // Вестник учеб.-методич. совета СамГУ, тез. докл. - Самара: "Самарский университет", 2001.- С.7-10.
8. Филиппов Ю.П. Новое представление результатов алгебраической редукции однопетлевых скалярных

интегралов // Науч. конф. "Концепции симметрии и фундаментальных полей в квантовой физике XXI века": тез. докл. Самара: Изд-во "Универс-групп", 2005. – С. 73–75.

9. Филиппов Ю.П. Перспективы экспериментального исследования каплингов трехчастичного взаимодействия нейтральных бозонов Хиггса МССМ на будущих коллайдерах // Науч. конф. "Проблемы фундаментальной физики XXI века": тез. докл. Самара: Изд-во "Универс-групп", 2005. – С. 94–95.

Исследования были поддержаны

- грантами 02-02-26561-зм, 03-02-26501-зм российского фонда фундаментальных исследований;
- грантом 298Е2.4 К Самарского областного конкурса грантов 2006 года;
- стипендиальной программой ("молодой ученый без степени") фонда "Династия".

 Объем и структура диссертации. Диссертационная работа состоит из введения, шести глав, заключения, списка литературы (170 наименований), приложений. Работа содержит 34 рисунка и 5 таблиц. Общий объем диссертации - 163 страницы машинописного текста.

2. Хиггсовский сектор МССМ

Хиггсовский сектор МССМ представлен дублетами скалярных полей H_1 и H_2 .

$$\mathcal{L}_{\text{Higgs}} = \mathcal{L}_{\text{kin}}^{\text{Higgs}} - V_{\text{Higgs}} \quad (32)$$

$$\mathcal{L}_{\text{kin}}^{\text{Higgs}} = [D_\mu H_1]^\dagger D^\mu H_1 + [D_\mu H_2]^\dagger D^\mu H_2, \quad \text{где } D^\mu = \partial^\mu - \frac{i}{2}g_1 B^\mu - \frac{i}{2}g_2 \sigma^i W^{\mu i}, \quad (33)$$

$$V_{\text{Higgs}} = m_1^2 |H_1|^2 + m_2^2 |H_2|^2 - m_{12}^2 (\epsilon_{ij} H_1^i H_2^j + \text{h.c.}) + \\ + \frac{1}{8}(g_1^2 + g_2^2) (|H_1|^2 - |H_2|^2)^2 + \frac{1}{2} g_2^2 |H_1^\dagger H_2|^2, \quad (34)$$

σ^i – матрицы Паули; m_1^2 , m_2^2 , m_{12}^2 – параметры мягкого нарушения суперсимметрии; $\epsilon_{11} = \epsilon_{22} = 0$, $\epsilon_{12} = -\epsilon_{21} = 1$.

$$H_1 = \begin{bmatrix} H_1^0 \\ H_1^- \end{bmatrix} = \begin{bmatrix} \frac{1}{\sqrt{2}}(v_1 + \phi_1^0 + i\chi_1^0) \\ \phi_1^- \end{bmatrix}, \quad H_2 = \begin{bmatrix} H_2^+ \\ H_2^0 \end{bmatrix} = \begin{bmatrix} \phi_2^+ \\ \frac{1}{\sqrt{2}}(v_2 + \phi_2^0 + i\chi_2^0) \end{bmatrix}. \quad (35)$$

Представление потенциала Хиггса в терминах физических полей:

$$\begin{bmatrix} \phi_1^0 \\ \phi_2^0 \end{bmatrix} = D(\alpha) \begin{bmatrix} H \\ h \end{bmatrix}, \quad \begin{bmatrix} \chi_1^0 \\ \chi_2^0 \end{bmatrix} = D(\beta) \begin{bmatrix} G \\ A \end{bmatrix}, \quad \begin{bmatrix} \phi_1^\pm \\ \phi_2^\pm \end{bmatrix} = D(\beta) \begin{bmatrix} G^\pm \\ H^\pm \end{bmatrix}, \quad (36)$$

Спектр полей Хиггса:

- нейтральные CP -четные поля (h, H);
- нейтральное CP -нечетное поле (A);
- два заряженных поля (H^\pm);
- нефизические голдстоуновские степени свободы G, G^\pm .

После процедуры диагонализации потенциал Хиггса (34) характеризуется лишь двумя свободными параметрами:

$$M_A^2 = -m_{12}^2(tg\beta + ctg\beta), \quad tg\beta = \frac{v_2}{v_1}. \quad (37)$$

$$\tan 2\alpha = \tan 2\beta \frac{M_A^2 + M_Z^2}{M_A^2 - M_Z^2}, \quad -\frac{\pi}{2} < \alpha < 0. \quad (38)$$

В терминах физических полей лагранжиан взаимодействия полей Хиггса представляется в виде:

$$\begin{aligned} V_{\text{Higgs}}^{\text{Int}} = & \frac{\lambda_{hhh}^{(0)}}{3!} hhh + \frac{\lambda_{hhH}^{(0)}}{2!} hhH + \frac{\lambda_{hHH}^{(0)}}{2!} hHH + \frac{\lambda_{HHH}^{(0)}}{3!} HHH + \frac{\lambda_{hAA}^{(0)}}{2!} hAA + \\ & + \frac{\lambda_{HAA}^{(0)}}{2!} HAA + \lambda_{hH^+H^-}^{(0)} hH^+H^- + \lambda_{HH^+H^-}^{(0)} HH^+H^- \end{aligned} \quad (39)$$

$$\left. \begin{aligned} \lambda_{hhh}^{(0)} &= 3\lambda_0 c_{2\alpha} s(\alpha+\beta), & \lambda_{hhH}^{(0)} &= \lambda_0 [2s(2\alpha) s(\alpha+\beta) - c_{2\alpha} c(\alpha+\beta)], \\ \lambda_{HHH}^{(0)} &= 3\lambda_0 c_{2\alpha} c(\alpha+\beta), & \lambda_{hHH}^{(0)} &= -\lambda_0 [2s_{2\alpha} c(\alpha+\beta) + c_{2\alpha} s(\alpha+\beta)], \\ \lambda_{hAA}^{(0)} &= \lambda_0 c_{2\beta} s(\alpha+\beta), & \lambda_{hH^+H^-}^{(0)} &= g_2 M_W s(\beta-\alpha) + \lambda_0 c_{2\beta} s(\alpha+\beta), \\ \lambda_{HAA}^{(0)} &= -\lambda_0 c_{2\beta} c(\alpha+\beta), & \lambda_{HH^+H^-}^{(0)} &= g_2 M_W c(\beta-\alpha) - \lambda_0 c_{2\beta} c(\alpha+\beta), \end{aligned} \right\} \quad (40)$$

здесь и далее $\lambda_0 = \frac{M_Z^2}{v}$, $s_x = \sin x$, $c_x = \cos x$.

Массы БХ в древесном приближении:

$$m_{h,H}^2 = \frac{1}{2} \left[M_A^2 + M_Z^2 \mp \sqrt{(M_A^2 + M_Z^2)^2 - 4M_Z^2 M_A^2 c_{2\beta}} \right], \quad m_{H^\pm}^2 = M_A^2 + M_W^2. \quad (41)$$

3. Элементарные процессы определения констант БХ

e^+e^- – линейные коллайдеры

$$(1) e^+ e^- \rightarrow Z + H_i H_j \{AA\}, \quad i, j = 1, 2$$

$$(2) e^+ e^- \rightarrow \nu_e \bar{\nu}_e + H_i H_j \{AA\}, \quad i, j = 1, 2$$

$$(3) e^+ e^- \rightarrow A + H_i H_j \{AA\}, \quad i, j = 1, 2$$

$$(4) e^+ e^- \rightarrow H_i H_j \{AA\}, \quad i, j = 1, 2$$

ЛНС

$$(1) q \bar{q} \rightarrow W/Z + H_i H_j \{AA\}, \quad i, j = 1, 2$$

$$(2) q q' \rightarrow q q' + H_i H_j \{AA\}, \quad i, j = 1, 2$$

$$(3) q \bar{q} \rightarrow A + H_i H_j \{AA\}, \quad i, j = 1, 2$$

$$(4) g g \rightarrow H_i H_j \{AA\}, \quad i, j = 1, 2$$

Основные особенности процессов

- В МССМ допускается производство тяжелого БХ, сопровождающееся $H \rightarrow hh$. Согласно [4] данный распад увеличивает полное сечение процесса парного рождения h -бозона на линейном коллайдере на порядок и на 2 порядка [5] в случае процесса глюонной аннигиляции!

4] Djouadi A., Haber H. E., Zerwas P. M. Multiple production of MSSM neutral higgs bosons at high-energy e^+e^- colliders // Phys. Lett. B. – 1996. – V. 375. – P. 203-212.

[5] Djouadi A., Kalinowski J. and Zerwas P.M. Exploring the SUSY Higgs sector at e^+e^- linear colliders: A Synopsis // Z. Phys. – 1993. – С 57. – P. 569-584.

- При энергиях $\sqrt{s} \leq 1$ ТэВ, наиболее перспективными являются процессы

Ю.П. Филиппов: Петлевые эффекты во взаимодействиях бозонов Хиггса в МССМ

$e^+ e^- \rightarrow Z + H_i H_j \{AA\}$, а при $\sqrt{s} \geq 1$ ТэВ $e^+ e^- \rightarrow \nu_e \bar{\nu}_e + H_i H_j \{AA\}$.

- В отдельных областях пространства параметров МССМ значения сечений одного порядка с СМ-аналогом.
- В работах [4], [6] было показано, что наибольшей чувствительностью к определению обладают константы λ_{hhh} , λ_{hhH} .

[6] Djouadi A., Kilian W., Mühlleitner M. and Zerwas P.M. Production of neutral higgs boson pairs at LHC // Eur. Phys. J. – 1999. – С 10. – Р. 45-49.

- Сечения процессов $e^+ e^- \rightarrow H_i H_j \{AA\}$ экстремально малые – $\sim 10^{-6} - 10^{-8}$ фбн.
- На LHC доминирующим процессом является $gg \rightarrow H_i H_j (AA)$. Наибольший шанс определения у константы λ_{hhH} . Главная трудность – большой адронный фон.

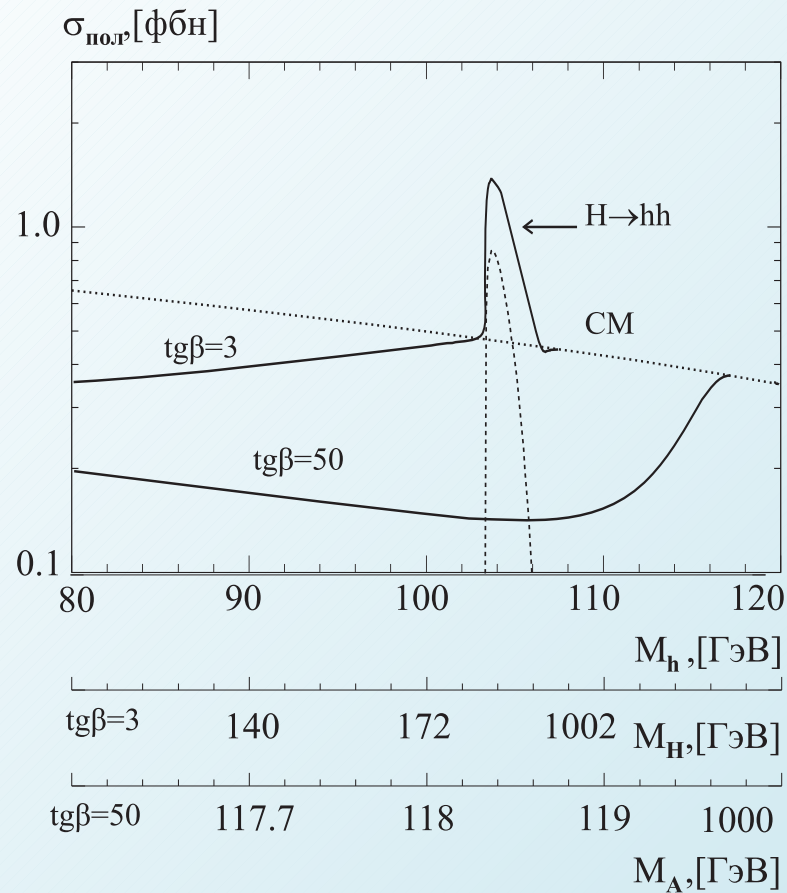


Рис. 4: Сечение процесса $e^+e^- \rightarrow Zh h$ при $\tan \beta = 3, 50$, $\sqrt{s} = 500$ ГэВ, $A = 1$ ТэВ, $\mu = \pm 1$ ТэВ. Точечная кривая характеризует поведение сечения в СМ. Пунктирная кривая определяет вклад резонансного распада $H \rightarrow hh$.

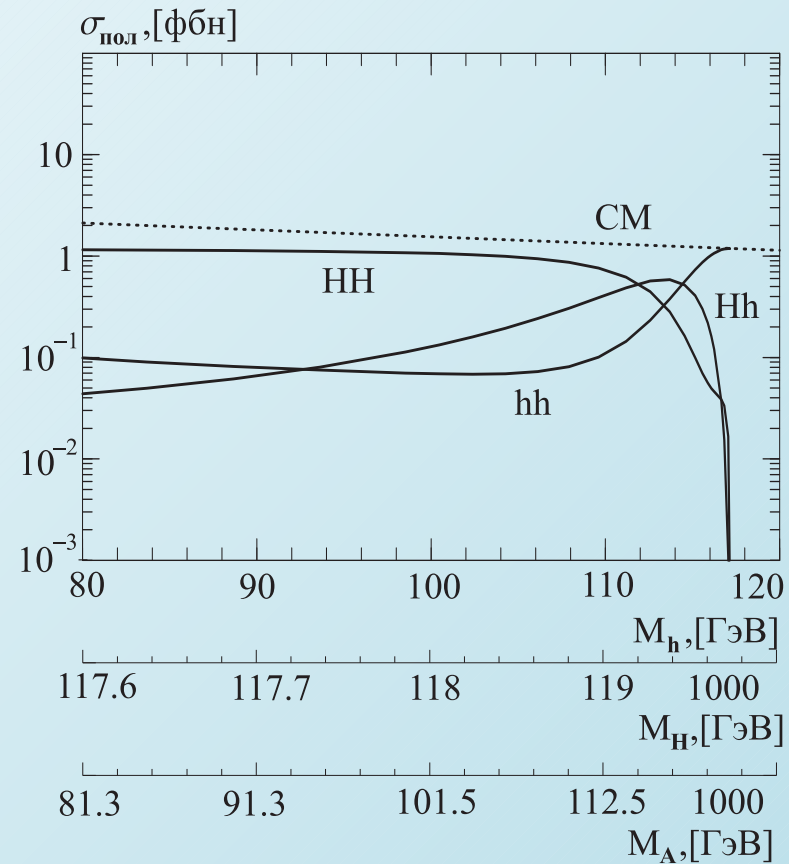


Рис. 5: Сечение процессов $e^+e^- \rightarrow \bar{\nu}_e \nu_e H_i H_j$ для $\sqrt{s} = 1.6$ ТэВ, $\tan \beta = 50$, $A = 1$ ТэВ, $\mu = 1$ ТэВ.

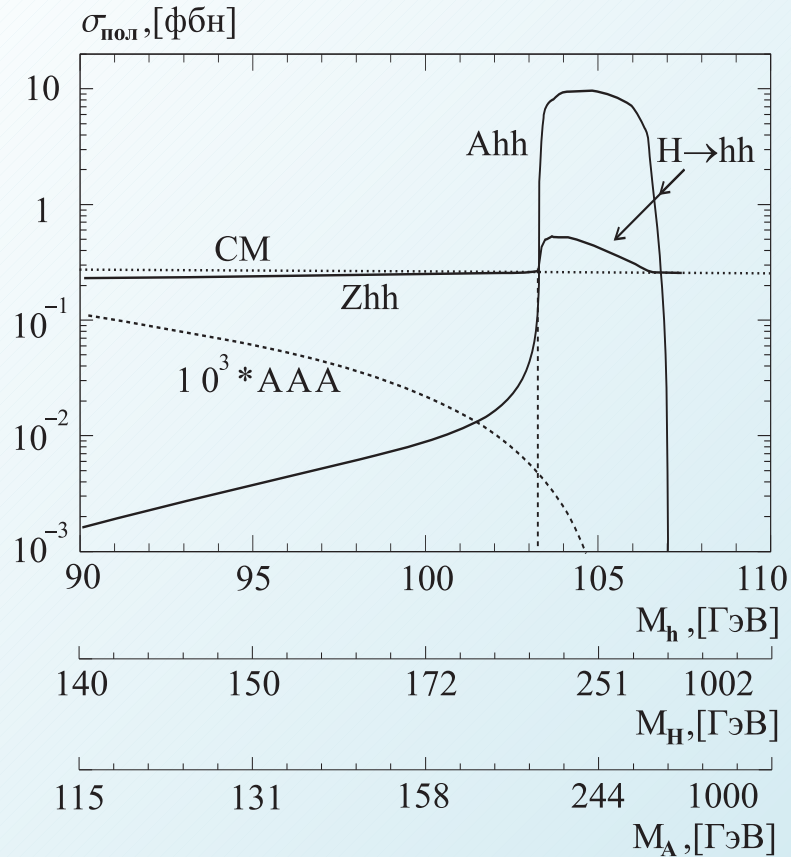


Рис. 6: Сечения процессов парного и трехчастичного рождения БХ с конечными состояниями Zhh , Ahh и AAA для $\tan\beta = 3$, $\sqrt{s} = 1$ ТэВ, $A = 1$ ТэВ, $\mu = -1$ ТэВ.

Процессы трехчастичного рождения БХ являются единственным источником информации о константах четырехчастичного взаимодействия БХ. Их сечения малы за исключением сценария с резонансным распадом H -бозона.

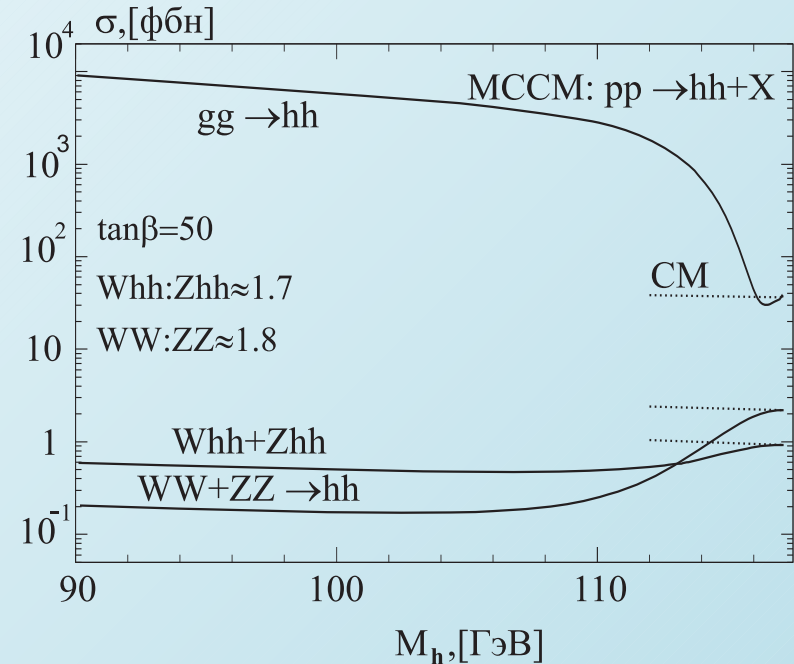


Рис. 7: Сечения процессов рождения пары легчайших БХ при $\tan\beta = 50$, $\sqrt{s} = 1$ ТэВ, $A = 1$ ТэВ, $\mu = 1$ ТэВ.

4. Формализм однопетлевых мультидиаграммных вычислений

Основные пертурбативные подходы в МССМ

↙

Ренормгрупповой (РГП)

[16] Barbieri R., Frigeni M. and Caravaglios M. // Phys. Lett. B 1991. V. 258. P. 167;

[17] Okada Y., Yamaguchi M. and Yanagida T. // Phys. Lett. B 1991. V. 262. P. 54;

[18] Espinosa J.R. and Quirós M. // Phys. Lett. B 1991. V. 266 P. 389.

↓

Подход эффективного потенциала (ПЭП)

[19] Barbieri R. and Frigeni M. // Phys. Lett. B 1991. V. 258. P. 395;

[20] Ellis J., Ridolfi G. and Zwirner F. // Phys. Lett. B 1991. V. 262. P. 477;

[21] Brignole A., Ellis J., Ridolfi G. and Zwirner F. // Phys. Lett. B 1991. V. 271. P. 123. and (E) B 1991. V. 273. P. 550.

↘

Фейнмановский диаграммный подход (ФДП)

[22] Yamada A. // Phys. Lett. B 1991. V. 263. P. 233;

[23] Chankowski P.H., Pokorski S. and Rosiek J. // Phys. Lett. B 1992. V. 274. P. 191;

[24] Brignole A. // Phys. Lett. B 1992. V. 277. P. 313.

5.1. On-shell - схема перенормировки

$$\mathcal{L}_{Gauge} = -\frac{1}{4}F_{\mu\nu}F^{\mu\nu} - \frac{1}{4}W_{\mu\nu}^i W^{\mu\nu i}, \quad (42)$$

$$\text{где } F_{\mu\nu} = \partial_\mu B_\nu - \partial_\nu B_\mu, \quad W_{\mu\nu}^i = \partial_\mu W_\nu^i - \partial_\nu W_\mu^i + g_2 \varepsilon^{ijk} W_\mu^j W_\nu^k. \quad (43)$$

а) для контрчленов к одноточечным ВФ БХ h, H :

$$\begin{aligned} \delta\Gamma_i^{[I]} &= a_i^{[1]}\delta Z_{H_1} + a_i^{[2]}\delta Z_{H_2} + a_i^{[3]}\delta Z_G + b_i^{[1]}\delta v_1 + b_i^{[2]}\delta v_2 + c_i^{[1]}\delta m_1^2 + \\ &+ c_i^{[2]}\delta m_2^2 + c_i^{[3]}\delta m_{12}^2, \quad i = h, H, \end{aligned} \quad (44)$$

$$\delta Z_G = [2(c_w^2 \delta Z_1^W + s_w^2 \delta Z_1^B) - 3(c_w^2 \delta Z_2^W + s_w^2 \delta Z_2^B)]; \quad (45)$$

б) для контрчленов к двухточечным ВФ БХ и калибровочных бозонов:

$$\begin{aligned} \delta\Gamma_{ij}^{[I]} &= a_{ij}^{[1]}\delta Z_{H_1} + a_{ij}^{[2]}\delta Z_{H_2} + a_{ij}^{[3]}\delta Z_G + b_{ij}^{[1]}\delta v_1 + b_{ij}^{[2]}\delta v_2 + c_{ij}^{[1]}\delta m_1^2 + \\ &+ c_{ij}^{[2]}\delta m_2^2 + c_{ij}^{[3]}\delta m_{12}^2, \quad i, j = Z, A, h, H, \end{aligned} \quad (46)$$

$$\delta\Gamma_{\gamma\gamma}^{[I]} = 0, \quad (47)$$

$$\delta\Gamma_{WW}^{[I]} = M_W^2 [c_\beta^2 \delta Z_{H_1} + s_\beta^2 \delta Z_{H_2} + 2\delta Z_1^W - 3\delta Z_2^W - \frac{2}{v} [c_\beta \delta v_1 + s_\beta \delta v_2]], \quad (48)$$

$$\delta\Gamma_{\gamma Z}^{[I]} = M_Z^2 c_w s_w [\delta Z_1^W - \delta Z_1^B - \delta Z_2^W + \delta Z_2^B], \quad (49)$$

$$\delta\Gamma_{AZ}^{[I]} = M_Z \left[-\frac{1}{2}s_{2\beta} [\delta Z_{H_1} - \delta Z_{H_2}] + \frac{1}{v} [s_\beta\delta v_1 - c_\beta\delta v_2] \right], \quad (50)$$

$$\left. \begin{aligned} \Delta_{ZZ}(p^2) &= (p^2 - M_Z^2) [c_w^2\delta Z_2^W + s_w^2\delta Z_2^B], & \Delta_{WW}(p^2) &= (p^2 - M_W^2)\delta Z_2^W, \\ \Delta_{\gamma\gamma}(p^2) &= p^2 [s_w^2\delta Z_2^W + c_w^2\delta Z_2^B], & \Delta_{\gamma Z}(p^2) &= p^2 s_w c_w [\delta Z_2^B - \delta Z_2^W], \\ \Delta_{AA}(p^2) &= p^2 [s_\beta^2\delta Z_{H_1} + c_\beta^2\delta Z_{H_2}], & \Delta_{hh}(p^2) &= p^2 [s_\alpha^2\delta Z_{H_1} + c_\alpha^2\delta Z_{H_2}], \\ \Delta_{hH}(p^2) &= \frac{1}{2}s_{2\alpha}p^2 [\delta Z_{H_2} - \delta Z_{H_1}], & \Delta_{HH}(p^2) &= p^2 [c_\alpha^2\delta Z_{H_1} + s_\alpha^2\delta Z_{H_2}], \end{aligned} \right\} \quad (51)$$

$$\hat{\Sigma}_{ii} = \Sigma_{ii}(p^2) + \Delta_{ii}(p^2) - \delta\Gamma_{ii}^{[I]}, \quad \Sigma_{ii}(p^2) = \sum_{k,\{l\}} T_{k,\{l\}}^{ii}, \quad (52)$$

$$\hat{\Sigma}_{ij} = \Sigma_{ij}(p^2) + \Delta_{ij}(p^2) + \delta\Gamma_{ij}^{[I]}, \quad \Sigma_{ij}(p^2) = \sum_{k,\{l\}} T_{k,\{l\}}^{ij}. \quad (53)$$

в) для контрчленов к трехточечным ВФ БХ:

$$\delta\Gamma_{ijk}^{[I]} = a_{ijk}^{[1]}\delta Z_{H_1} + a_{ijk}^{[2]}\delta Z_{H_2} + a_{ijk}^{[3]}\delta Z_G + b_{ijk}^{[1]}\delta v_1 + b_{ijk}^{[2]}\delta v_2, \quad i, j, k = h, H, A \quad (54)$$

II. Структура контрчленов параметров лагранжиана (15) $\{\delta Z_{H_1}, \delta Z_{H_2}, \delta Z_1^W, \delta Z_1^B, \delta Z_2^W, \delta Z_2^B, \delta v_1, \delta v_2, \delta m_1^2, \delta m_2^2, \delta m_{12}^2\}$ определяется системой 11 условий, сформулированных в работе [1].

1,2. On-shell-условия для физических масс W -, Z -бозонов:

$$\Re \hat{\Sigma}_{ZZ}(M_Z^2) = 0, \quad \Re \hat{\Sigma}_{WW}(M_W^2) = 0. \quad (55)$$

3. On-shell-условие для вычета от фотонного пропагатора:

$$\left. \frac{\partial}{\partial p^2} \hat{\Sigma}_{\gamma\gamma}(p^2) \right|_{p^2=0} = 0. \quad (56)$$

4. On-shell-условие для γZ – смешивания:

$$\Re \hat{\Sigma}_{\gamma Z}(0) = 0. \quad (57)$$

5,6. On-shell-условия для физической массы A - бозона и вычета от его пропагатора:

$$\Re \hat{\Sigma}_{AA}(M_A^2) = 0, \quad \left. \frac{\partial}{\partial p^2} \hat{\Sigma}_{AA}(p^2) \right|_{p^2=M_A^2} = 0. \quad (58)$$

7. Сохранение $U_{EM}(1)$ – калибровочной симметрии и, как следствие, выполнение тождества Уорда приводит к равенству вида:

$$\delta Z_1^B = \delta Z_2^B. \quad (59)$$

8. Требование выполнения соотношения $\tan \beta = v_2/v_1$ на однопетлевом уровне приводит к условию:

$$\frac{\delta v_1}{v_1} = \frac{\delta v_2}{v_2}. \quad (60)$$

9,10. Условия нулевого вклада от диаграмм типа "головастик": сумма всех вкладов от диаграмм типа "головастик", включая и контрчленные вклады для рассматриваемого поля, должна равняться нулю, т.е.

$$\Delta \hat{\Gamma}_h^{[I]} = \sum_{k, \{l\}} T_{k, \{l\}}^h + \delta \Gamma_h^{[I]} = 0, \quad \Delta \hat{\Gamma}_H^{[I]} = \sum_{k, \{l\}} T_{k, \{l\}}^H + \delta \Gamma_H^{[I]} = 0. \quad (61)$$

11. On-shell условие для энергии $A - Z$ -смешивания:

$$\Re e \hat{\Sigma}_{AZ}(M_A^2) = 0. \quad (62)$$

5.2. Алгебраическая редукция скалярных интегралов

- ☞ Амплитуда процесса, как правило, представляется в виде линейной комбинации одно-, двух-, трех-, четырехточечных скалярных интегралов.
- ☞ Вплоть до конца 70-ых годов XX столетия не было известно алгоритмов расчета данных интегралов в общем случае.
- ☞ Впервые алгоритм вычисления интегралов в общем случае был представлен в работах:

[29] 't Hooft G. and Veltman M. Scalar one loop integrals // Nucl. Phys. B 1979. V. 153. P. 365-401

[30] Passarino G. and Veltman M. One loop corrections for e^+e^- -annihilation into $\mu^+\mu^-$ in the weinberg model // Nucl. Phys. B 1979. V. 160. P. 151.

Здесь впервые получено выражение для C_0 в виде суммы 12 дилогарифмов.

Подход с использованием кинематических детерминантов

[31] G. J. van Oldenborgh, J. A. M. Vermaseren // Z. Phys. C46, (1990) 425.

Интегрирование с использованием представления Меллина-Барнса

- [32] | A.I.Davydychev, J.Math.Phys. **32**, (1991) 1052.
- [33] | A.I.Davydychev J.Math.Phys. **33**, (1992) 358.
- [34] | É. É. Boos and A. I. Davydychev, Theor. Math. Phys. **89**, (1991) 1052.

Полиномиальная техника Гегенбауэра

- [35] | A.E.Terrano, Phys.Lett.B **93**, (1980) 424.

Интегрирование по частям

- [36] | F.V.Tkachov, Phys.Lett.B **100**, (1981) 65; K.G.Chetyrkin, F.V.Tkachov, Nucl.Phys.B **192**, (1981) 159.

Интег-вание в пространстве с отрицательной размерностью

- [37] | I. G. Halliday, R. M. Ricotta, Phys.Lett.B **193**, (1987) 241; G.V.Dunne, I. G. Halliday, Phys.Lett.B **193**, (1987) 247.
- [38] | A.T.Suzuki, A.G.M.Schmidt, J. Phys. **A31**, (1998) 8023.

Интегрирование функций, разложенных в ряд

- [39] | M.G.Schmidt, C.Schubert, Phys. Rev. D **53**, (1996) 2150.

Метод дифференциальных уравнений

- [40] | T. Gehrmann, E. Remiddi, Nucl. Phys. B **601**, (2001) 287; Nucl. Phys. Proc. Suppl. **89**, (2000) 251. *Ibid*, preprint [hep-ph/0207020].

Тенденции в построении алгоритмов вычисления

↙

Построение обобщенных аналитических структур – результатов расчета указанных интегралов

↘

Решение проблем численного интегрирования. Адаптация аналитических решений к машинным кодам

- ☞ Основное количество технических проблем в численном интегрировании обусловлено
- непреднамеренным выходом в комплексную плоскость переменной интегрирования, когда это можно избежать, тем самым уменьшить ошибку вычислений;
 - трудностями учета большого многообразия свойств специальных функций при написании программ, способствующих редукции итогового результата;
 - в традиционных алгоритмах редукции интеграла нередко проводятся замены переменных, справедливые лишь при определенных значениях параметров преобразования. Выход за пределы области допустимых значений приводит к появлению сингулярных результатов, неустраняемых программой автоматически.

Необходимо построить новое представление для интегралов B_0 , C_0 , удобное в применении используемой схемы перенормировки и для построения компьютерных программ расчета.

Общая схема расчета скалярных интегралов

- ☞ Данные интегралы – несобственные \implies м. б. расходящимися. Для устранения у.ф.

расходимостей – метод размерной регуляризации.

1. Переход в \mathcal{D} - мерное пространство

⇒ Рассмотрение \mathcal{D} - мерного аналога функции в пространстве Минковского ($\mathcal{D} < 4$).

⇒ Если \mathcal{D} не фиксировано \implies ничего нельзя сказать о характере расходимости \implies можно манипулировать с подинтегральной функцией как с ограниченной гладкой функцией.

⇒ При этом

$$\lim_{\mathcal{D} \rightarrow 4} \mu^{4-\mathcal{D}} \int \frac{d^{\mathcal{D}} \mathbf{q}}{(2\pi)^{\mathcal{D}}} [\dots] = \int \frac{d^4 \mathbf{q}}{(2\pi)^4} [\dots] \quad (63)$$

здесь μ - параметр размерной регуляризации – сохраняет размерность данного интеграла в \mathcal{D} измерениях для сохранения калибровочной инвариантности.

2. Параметризация Фейнмана

⇒ Подинтегральная функция (63) определяется произведением пропагаторов \implies интегрирование по импульсу затруднительно.

⇒ Для интегрирования подинтегральная функция д. иметь структуру типа $1/[q^2 + M^2]^N$. В работе

[41] R. P. Feynman // Phys. Rev. **76** (1949), 769.

предложен подход параметризации скалярных интегралов \implies переопределению

подинтегральной функции с помощью выражения

$$\frac{1}{D_1^{\alpha_1} D_2^{\alpha_2} \dots D_N^{\alpha_N}} = \frac{\Gamma(\sum_{i=1}^N \alpha_i)}{\prod_{i=1}^N \Gamma(\alpha_i)} \underbrace{\int_0^1 \dots \int_0^1}_{N} dx_1 dx_2 \dots dx_N \delta\left(1 - \sum_{i=1}^N x_i\right) \times \frac{x_1^{\alpha_1-1} x_2^{\alpha_2-1} \dots x_N^{\alpha_N-1}}{\left(\sum_{i=1}^N D_i x_i\right)^{\left(\sum_{i=1}^N \alpha_i\right)}}$$

⇒ ⇒ в подинтегральном выражении образуется необходимая комбинация по переменной q .

⇒ Выделение полного квадрата и переход к новой переменной q' посредством сдвига импульса на конечную величину.

3. Поворот Вика. Интегрирование в \mathcal{D} - мерном евклидовом пространстве

$$\left\{ q'_0 \rightarrow i q_0^E, \quad q'_i \rightarrow q_i^E, i = \overline{1, \mathcal{D} - 1} \right\} \Rightarrow \left\{ dq' \rightarrow i dq_E, \quad q'^2 \rightarrow -q_E^2 \right\} \quad (64)$$

$$\int \frac{d^{\mathcal{D}} q_E}{[q_E^2 + M^2]^n} = \pi^{\frac{\mathcal{D}}{2}} \frac{\Gamma(n - \frac{\mathcal{D}}{2})}{\Gamma(n)} (M^2)^{-(n - \frac{\mathcal{D}}{2})} \quad (65)$$

4. Предельный переход $\mathcal{D} \rightarrow 4$. Дифференциация результата

⇒ разложение Γ - функции

$$\lim_{\varepsilon \rightarrow 0} \Gamma(-n + \varepsilon) = \frac{(-1)^n}{n!} \left[\frac{1}{\varepsilon} + \tilde{\psi}(n + 1) + \mathcal{O}(\varepsilon) \right] \quad (66)$$

где $\tilde{\psi}(n + 1) = 1 + \frac{1}{2} + \dots + \frac{1}{n} - \gamma_e$, $\gamma_e = 0.5772157$ - постоянная Эйлера-Маскерони; параметр ε определяется как

$$\varepsilon = 4 - \mathcal{D} \rightarrow 0 \quad \text{при} \quad \mathcal{D} \rightarrow 4 - 0 \quad (67)$$

$$a^\varepsilon = 1 + \varepsilon \ln a, \quad \text{при} \quad \varepsilon \rightarrow 0 \quad (68)$$

⇒ расходящаяся часть интеграла:

$$\Delta_\varepsilon = \lim_{\varepsilon \rightarrow 0} \left(\frac{2}{\varepsilon} + \ln(4\pi) - \gamma_e \right) \quad (69)$$

5. Редукция конечной части интеграла – ряд алгебраических преобразований, процедуры вычисления интегралов, сведение к набору специальных функций.

- необходимо провести детальный анализ поведения подинтегральной функции и выявить возможные варианты вычисления первообразной, соответствующие определенным областям пространства параметров скалярного интеграла;

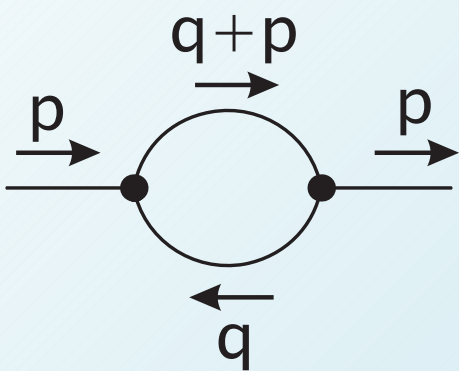
- вычисляем первообразные в каждом возможном варианте, избегая по возможности выхода в комплексную плоскость переменной интегрирования;
- решение в каждом варианте представляется в дифференцированной форме - в виде суммы действительной и мнимой части. Итоговый результат представляется деревом всевозможных редуцированных решений.

Двухточечная скалярная функция B_0

$$\frac{i}{16\pi^2} B_0(p^2, m_1^2, m_2^2) = \int \frac{d^4 q}{(2\pi)^4} \frac{1}{(q^2 - m_1^2 + i\delta)((q+p)^2 - m_2^2 + i\delta)} \quad (70)$$

⇒ D - мерный аналог интеграла в пространстве Минковского

$$\frac{i}{16\pi^2} B_0^D(p^2, m_1^2, m_2^2) = \mu^{4-D} \int \frac{d^D q}{(2\pi)^D} \frac{1}{(q^2 - m_1^2 + i\delta)((q+p)^2 - m_2^2 + i\delta)} \quad (71)$$



(6)

⇒ Параметризация Фейнмана

$$\frac{1}{D_1 D_2} = \int_0^1 \frac{1}{[D_1 x + D_2 (1-x)]^2} \quad (72)$$

$$\left. \begin{aligned} D_1 &= ((q+p)^2 - m_2^2 + i\delta) \\ D_2 &= (q^2 - m_1^2 + i\delta) \end{aligned} \right\} \quad (73)$$

$$\frac{i}{16\pi^2} B_0^D(p^2, m_1^2, m_2^2) = \mu^{4-D} \int_0^1 dx \int \frac{d^D q'}{(2\pi)^D} \frac{1}{[q'^2 - M^2]^2} \quad (74)$$

где

$$q' = q + px, \quad M^2 = p^2 x^2 - x(p^2 + m_1^2 - m_2^2) + m_1^2 - i\delta \quad (75)$$

⇒ поворот Вика (64), интегрирование в евклидовом \mathcal{D} - пространстве с учетом (65)

$$\frac{i}{16\pi^2} \mathbf{B}_0^{\mathcal{D}}(\mathbf{p}^2, m_1^2, m_2^2) = \frac{i}{16\pi^2} \Gamma\left(\frac{\varepsilon}{2}\right) \int_0^1 dx \left(\frac{4\pi\mu^2}{M^2}\right)^{\frac{\varepsilon}{2}} \quad (76)$$

с учетом

$$\left. \begin{aligned} \Gamma\left(\frac{\varepsilon}{2}\right) &= \frac{2}{\varepsilon} - \gamma_E + \mathcal{O}(\varepsilon) \\ \left(\frac{4\pi\mu^2}{M^2}\right)^{\frac{\varepsilon}{2}} &= 1 + \frac{\varepsilon}{2} \ln\left[\frac{4\pi\mu^2}{M^2}\right] \end{aligned} \right\} \quad (77)$$

⇒ Предельный переход

$$\mathbf{B}_0(\mathbf{p}^2, m_1^2, m_2^2) = \lim_{\mathcal{D} \rightarrow 4} \mathbf{B}_0^{\mathcal{D}}(\mathbf{p}^2, m_1^2, m_2^2) = [\Delta_\varepsilon + \ln \mu^2 - \mathcal{I}(\mathbf{p}^2, m_1^2, m_2^2)] \quad (78)$$

где

$$\mathcal{I}(\mathbf{p}^2, m_1^2, m_2^2) = \int_0^1 dx \ln[M^2] = \int_0^1 dx \ln[ax^2 + bx + c] \quad (79)$$

$$\mathbf{a} = \mathbf{p}^2, \quad \mathbf{b} = -(\mathbf{p}^2 + m_1^2 - m_2^2), \quad \mathbf{c} = m_1^2 \quad (80)$$

⇒ Редукция конечной части

⇒ Случай № 1: $a \neq 0; b, c \in \mathfrak{R}$.

$$ax^2 + bx + c = 0, \quad (81)$$

$$\mathcal{D} = b^2 - 4ac \quad (82)$$

→ Ситуация № 1: $\mathcal{D} \geq 0$:

$$x_{1,2} = -\frac{b}{2a} \pm \frac{1}{2a} \sqrt{b^2 - 4ac} = \frac{1}{2} + \frac{m_1^2 - m_2^2}{2p^2} \pm \frac{1}{2p^2} \sqrt{\lambda(p^2, m_1^2, m_2^2)} \quad (83)$$

где

$$\lambda(x, y, z) = x^2 + y^2 + z^2 - 2xy - 2xz - 2yz \quad (84)$$

$$\begin{aligned} \mathcal{I}_{11} = \ln |a| + i\pi\theta(-a) - 2 + \sum_{i=1}^2 [(1 - x_i) \ln |1 - x_i| + x_i \ln |x_i| + \\ + i\pi [\theta(x_i - 1 - \epsilon_i) + x_i\theta(x_i)\theta(1 - x_i)]] \end{aligned} \quad (85)$$

→ Ситуация № 2: $\mathcal{D} < 0$:

$$\mathcal{I}_{12} = \ln |a| + i\pi\theta(-a) + \left(1 + \frac{b}{2a}\right) \ln \left[1 + \frac{b}{a} + \frac{c}{a}\right] - \frac{b}{2a} \ln \frac{c}{a} - 2 + \quad (86)$$

$$+ \frac{\sqrt{-\lambda(p^2, m_1^2, m_2^2)}}{a} \left[\arctan \left[\frac{b + 2a}{\sqrt{-\lambda(p^2, m_1^2, m_2^2)}} \right] - \arctan \left[\frac{b}{\sqrt{-\lambda(p^2, m_1^2, m_2^2)}} \right] \right] \quad (87)$$

где

$$x' = x + \frac{b}{2a}, \eta_2 = 1 + \frac{b}{2a}, \eta_1 = \frac{b}{2a}, g = \frac{1}{2|a|} \sqrt{-\mathcal{D}} \quad (88)$$

⇒ Случай № 2: $a = 0, b \neq 0, c \in \mathfrak{R}$

$$\begin{aligned} \mathcal{I}_2 = \int_0^1 dx \ln [bx + c] &= \ln |b| + \left(1 + \frac{c}{b}\right) \ln \left|1 + \frac{c}{b}\right| - \frac{c}{b} \ln \left|\frac{c}{b}\right| - 1 + \\ &+ i\pi \left[1 + \theta(-b) - \theta\left(1 + \frac{c}{b} + \epsilon\right) - \frac{c}{b} \theta\left(-\frac{c}{b}\right) \theta\left(1 + \frac{c}{b}\right)\right] \end{aligned} \quad (89)$$

⇒ Случай № 3: $a = 0, b = 0, c \neq 0$

$$\mathcal{I}_3 = \int_0^1 dx \ln |c| = \ln |c| + i\pi\theta(-c) \quad (90)$$

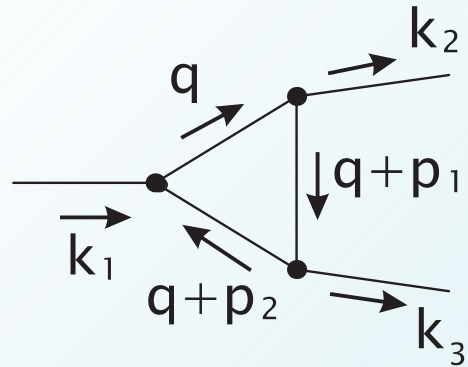
$$\mathcal{I} = \left\{ \begin{array}{l} \text{если } a \neq 0; b, c \in \mathfrak{R}, \text{ то } \mathcal{I}_1 = \left\{ \begin{array}{l} \mathcal{I}_{11}, (85), \text{ если } \mathfrak{D} \geq 0, \\ \mathcal{I}_{12}, (87), \text{ если } \mathfrak{D} < 0 \end{array} \right\}, \\ \text{если } a = 0, b \neq 0, c \in \mathfrak{R}, \text{ то } \mathcal{I}_2, (89), \\ \text{если } a, b = 0, c \neq 0, \text{ то } \mathcal{I}_3, (90) \end{array} \right\}, \quad (91)$$

Трехточечная скалярная функция C_0

$$\frac{i}{16\pi^2} C_0(p_1^2, p_2^2, p_1 p_2, m_1^2, m_2^2, m_3^2) = \int \frac{d^4 q}{(2\pi)^4} \times \frac{1}{(q^2 - m_1^2 + i\delta)((q + p_1)^2 - m_2^2 + i\delta)((q + p_2)^2 - m_3^2 + i\delta)} \quad (92)$$

Особенность интеграла - не содержит ультрафиолетовой расходимости

▣▣▣▣ Параметризация Фейнмана



(B)

$$\frac{1}{D_1 D_2 D_3} = 2 \int_0^1 dx \int_0^{1-x} dy \frac{dy}{[D_1(1-x-y) + D_2x + D_3y]^3} \quad (93)$$

$$\left. \begin{aligned} D_1 &= (q^2 - m_1^2 + i\delta) \\ D_2 &= ((q + p_1)^2 - m_2^2 + i\delta) \\ D_3 &= ((q + p_2)^2 - m_3^2 + i\delta) \end{aligned} \right\} \quad (94)$$

$$\frac{i}{16\pi^2} C_0(p_1^2, p_2^2, p_1 p_2, m_1^2, m_2^2, m_3^2) = 2 \int_0^1 dx \int_0^{1-x} dy \int \frac{d^4 q'}{(2\pi)^4} \frac{1}{[q'^2 - M^2]^3} \quad (95)$$

где

$$\left. \begin{aligned} q' &= q + p_1 x + p_2 y, \\ M^2 &= p_1^2 x^2 + p_2^2 y^2 + 2p_1 p_2 xy - p_1^2 x - p_2^2 y + m_2^2 x + m_3^2 y + m_1^2(1-x-y) - i\delta \end{aligned} \right\} \quad (96)$$

▣▣▣▣ поворот Вика (64), интегрирование в евклидовом 4 - пространстве с учетом (65)

$$C_0(p_1^2, p_2^2, p_1 p_2, m_1^2, m_2^2, m_3^2) = - \int_0^1 dx \int_0^{1-x} dy \frac{1}{M^2} \quad (97)$$

Замена: $y \rightarrow 1 - y, x \leftrightarrow y$

$$C_0(p_1^2; p_2^2; p_1 p_2; m_1^2; m_2^2; m_3^2) = - \int_0^1 dx \int_0^x \frac{dy}{ax^2 + by^2 + cxy + dx + ey + f}, \quad (98)$$

$$\left\{ \begin{array}{l} a = p_2^2, \quad b = p_1^2, \quad c = -2(p_1 p_2), \quad d = m_1^2 - p_2^2 - m_3^2, \\ e = m_2^2 + 2p_1 p_2 - p_1^2 - m_1^2, \quad f = m_3^2 - i\delta \end{array} \right\} \quad (99)$$

Поворот в плоскости OXY :

$$\begin{pmatrix} x \\ y \end{pmatrix} = \begin{pmatrix} \cos \alpha & -\sin \alpha \\ \sin \alpha & \cos \alpha \end{pmatrix} \begin{pmatrix} x' \\ y' \end{pmatrix} \quad (100)$$

Требование: равенство нулю коэффициента при $x'y'$

$$\tan 2\alpha = \frac{c}{b - a} = \kappa \quad (101)$$

$$\cos \alpha = \sqrt{\frac{1}{2} + \frac{1}{2\sqrt{1 + \kappa^2}}}; \quad \sin \alpha = \operatorname{sgn} \left[\frac{1}{2} \arctan \kappa \right] \sqrt{\frac{1}{2} - \frac{1}{2\sqrt{1 + \kappa^2}}} \quad (102)$$

$$C_0 = - \left[\int_{y'_1}^{y'_2} dy' \int_{x'_1}^{x'_2} dx' + \int_{y'_2}^{y'_3} dy' \int_{x'_3}^{x'_2} dx' \right] \frac{1}{a_0 x'^2 + b_0 y'^2 + d_0 x' + e_0 y' + f_0} \quad (103)$$

$$\left\{ \begin{array}{l} a_0 = a \cos^2 \alpha + b \sin^2 \alpha + c \cos \alpha \sin \alpha, \quad x'_1 = -\cot \alpha y', \\ b_0 = a \sin^2 \alpha + b \cos^2 \alpha - c \cos \alpha \sin \alpha, \quad x'_2 = \cos \alpha + \sin \alpha \tan \alpha + \tan \alpha, \\ d_0 = d \cos \alpha + e \sin \alpha, \quad x'_3 = \frac{1+\tan \alpha}{1-\tan \alpha} y', \\ e_1 = -d \sin \alpha + e \cos \alpha, \quad y'_1 = -\sin \alpha, \quad y'_2 = 0, \\ f_0 = f, \quad y'_3 = \cos \alpha - \sin \alpha \end{array} \right. \quad (104)$$

⇒ Редукция интеграла

⇒ Случай № 1: $a_0 \neq 0$

Преобразование сдвига:

$$x_1 = x' + \frac{d_1}{2a_1}, \quad y_1 = y', \quad x_{1i} = x'_i + \frac{d_1}{2a_1} \quad (105)$$

$$C_{01} = - \left[\int_{y'_1}^{y'_2} dy_1 \int_{x_{11}}^{x_{12}} dx_1 + \int_{y'_2}^{y'_3} dy_1 \int_{x_{13}}^{x_{12}} dx_1 \right] \frac{1}{a_0 x_1^2 + b_0 y_1^2 + e_0 y_1 + f_0 - d_0^2 / 4a_0} \quad (106)$$

$$C_{01} = -\frac{1}{a_1} [\sin \alpha \mathcal{AT} [a_1, b_{11}, c_{11}, d_{11}, e_{11}, f_{11}, g_{11}] + \\ + (\cos \alpha - \sin \alpha) \mathcal{AT} [a_1, b_{12}, c_{12}, d_{12}, e_{12}, f_{12}, g_{12}]] \quad (107)$$

$$\mathcal{AT} [a, b, c, d, e, f, g] = \int_0^1 \frac{dy}{\sqrt{ax^2 + bx + c}} \left[\arctan \left[\frac{dy + e}{\sqrt{ax^2 + bx + c}} \right] - \right. \\ \left. - \arctan \left[\frac{fy + g}{\sqrt{ax^2 + bx + c}} \right] \right] \quad (108)$$

$$\left\{ \begin{array}{ll} a_{11} = b_0 \sin^2 \alpha / a_0, & a_{12} = b_0 (\cos \alpha - \sin \alpha)^2 / a_0, \\ b_{11} = -e_0 \sin \alpha / a_0 & b_{12} = e_0 (\cos \alpha - \sin \alpha) / a_0, \\ c_{11} = c_{12} = \frac{f_0}{a_0} - \frac{d_0^2}{4a_0^2}, & e_{11} = e_{12} = \cos \alpha + \sin \alpha \tan \alpha + d_0 / 2a_0, \\ d_{11} = -\tan \alpha \sin \alpha, & d_{12} = \tan \alpha (\cos \alpha - \sin \alpha), \\ f_{11} = \cos \alpha, & f_{12} = \cos \alpha + \sin \alpha, \\ g_{11} = g_{12} = \frac{d_0}{2a_0} \end{array} \right\} \quad (109)$$

⇒ Случай № 2: $a_0 \equiv 0, d_0 \neq 0$

$$\begin{aligned}
 C_{02} &= - \left[\int_{y'_1}^{y'_2} dy' \int_{x'_1}^{x'_2} dx' + \int_{y'_2}^{y'_3} dy' \int_{x'_3}^{x'_2} dx' \right] \frac{1}{b_0 y'^2 + d_0 x' + e_0 y' + f_0} = \\
 &= - \int_{y'_1}^{y'_2} dy \left[\ln[b_0 y^2 + e_0 y + f_0 + d_0 x'_2] - \ln[b_0 y^2 + e_0 y + f_0 + d_0 x'_1] \right] - \\
 &- \int_{y'_2}^{y'_3} dy \left[\ln[b_0 y^2 + e_0 y + f_0 + d_0 x'_2] - \ln[b_0 y^2 + e_0 y + f_0 + d_0 x'_3] \right] \quad (110)
 \end{aligned}$$

$$\begin{aligned}
 C_{02} &= - \sin \alpha \left[\mathcal{I}(a_{21}, b_{21}, c_{21}) + \mathcal{I}(a_{22}, b_{22}, c_{22}) \right] - \\
 &- (\cos \alpha - \sin \alpha) \left[\mathcal{I}(a_{23}, b_{23}, c_{23}) + \mathcal{I}(a_{24}, b_{24}, c_{24}) \right] \quad (111)
 \end{aligned}$$

$$\left\{ \begin{array}{ll} a_{21} = a_{22} = b_0 \sin^2 \alpha, & b_{21} = \sin \alpha (d_0 \tan \alpha - e_0), \\ c_{21} = c_{23} = \frac{f_0}{a_0} - \frac{d_0^2}{4a_0^2}, & b_{22} = -(d_0 \cos \alpha + e_0 \sin \alpha), \\ c_{22} = c_{24} = f_0, & b_{23} = (b_0 + d_0 \tan \alpha)(\cos \alpha - \sin \alpha), \\ a_{23} = a_{24} = b_0(\cos \alpha - \sin \alpha)^2, & b_{24} = (d_0 + e_0) \cos \alpha + (d_0 - e_0) \sin \alpha, \end{array} \right. \quad (112)$$

интеграл \mathcal{I} определяется выражением (91).

\Rightarrow Случай № 3: $a_0 \equiv 0, d_0 \equiv 0$

$$\begin{aligned} C_{03} &= - \left[\int_{y'_1}^{y'_2} dy' \int_{x'_1}^{x'_2} dx' + \int_{y'_2}^{y'_3} dy' \int_{x'_3}^{x'_2} dx' \right] \frac{1}{b_0 y'^2 + e_0 y' + f_0} = \\ &= - \int_{y'_1}^{y'_2} \frac{(x'_2 - x'_1) dy}{b_0 y^2 + e_0 y + f_0} - \int_{y'_2}^{y'_3} \frac{(x'_2 - x'_3) dy}{b_0 y^2 + e_0 y + f_0} \end{aligned} \quad (113)$$

или

$$C_{03} = \mathcal{F}[\mathbf{a}_{31}, \mathbf{b}_{31}, \mathbf{c}_{31}, \mathbf{d}_{31}, \mathbf{e}_{31}] + \mathcal{F}[\mathbf{a}_{32}, \mathbf{b}_{32}, \mathbf{c}_{32}, \mathbf{d}_{32}, \mathbf{e}_{32}] \quad (114)$$

$$C_0(p_1^2, p_2^2, p_1 p_2, m_1^2, m_2^2, m_3^2) = \begin{cases} a_0, d_0 \neq 0; \Rightarrow C_{01}, \\ a_0 \equiv 0, d_0 \neq 0, \Rightarrow C_{02}, \\ a_0, d_0 \equiv 0, \Rightarrow C_{03}. \end{cases} \quad (116)$$

Полученные результаты находятся в хорошем согласии с результатами работ [29], [42], полученными ранее для отдельных частных случаев.

[42] G.C. Devidze, G.R. Jibuti// E-print:hep-ph/9710283, 11pp.

6.1 Константы взаимодействия в однопетлевом приближении

- ➡ В [13] было показано, что константы $\lambda_{hhh}, \lambda_{hhH}$ характеризуются максимальными областями чувствительности.
- ➡ Распад $H \rightarrow hh$ увеличивает полное сечение процесса парного рождения БХ на e^+e^- – коллайдере на порядок [13] и на 2 порядка в случае процесса парного рождения БХ посредством глюонной аннигиляции на ЛНС [14]. Расчет ширины $\Gamma(H \rightarrow hh)$ в высших порядках теории возмущений (ТВ) неразрывно связан с вычислением констант $\lambda_{hhh}, \lambda_{hhH}, \lambda_{hHH}$ в соответствующем порядке ТВ.

$$\lambda_{ijk}^{(1)} = \lambda_{ijk}^{(0)} + \Delta \hat{\lambda}_{ijk}^{(1)}, \quad \Delta \hat{\lambda}_{ijk}^{(1)} = \sum_{\ell, \{m\}} T_{\ell, \{m\}}^{ijk} + \delta \Gamma_{ijk}, \quad i, j, k = h, H, \quad (117)$$

$$\begin{aligned} \Delta \lambda_{h_\ell h_m h_n}^{(1)} &= \sum_{\substack{s = \tilde{t}, \tilde{b}, \tilde{c}, \tilde{\tau} \\ i, j = 1, 2}} \left[T_{12, \{s_i s_j\}}^{h_\ell h_m h_n} + \left[\begin{array}{c} h_\ell \rightarrow h_m \rightarrow h_n \rightarrow h_\ell \\ p_3 \rightarrow p_2 \end{array} \right] + \left[\begin{array}{c} h_\ell \rightarrow h_n \rightarrow h_m \rightarrow h_\ell \\ p_3 \rightarrow p_1 \end{array} \right] \right] + \\ &+ \sum_{f=t, b, c, \tau} T_{18, \{fff\}}^{h_\ell h_m h_n} + \sum_{\substack{s = \tilde{t}, \tilde{b}, \tilde{c}, \tilde{\tau} \\ i, j, k = 1, 2}} T_{25, \{s_i s_j s_k\}}^{h_\ell h_m h_n}, \quad \{h_\ell, h_m, h_n\} = \{h, H\}, \end{aligned} \quad (118)$$

$$\Delta \lambda_{h_\ell AA}^{(1)} = \sum_{\substack{s = \tilde{t}, \tilde{b}, \tilde{c}, \tilde{\tau} \\ i, j = 1, 2}} T_{12, \{s_i s_j\}}^{h_\ell AA} (p_3 \rightarrow p_1) + \sum_{f=t, b, c, \tau} 2T_{18, \{fff\}}^{h_\ell AA} + \sum_{\substack{s = \tilde{t}, \tilde{b}, \tilde{c}, \tilde{\tau} \\ i, j, k = 1, 2}} T_{25, \{s_i s_j s_k\}}^{h_\ell AA}, \quad h_\ell = \{h, H\}, \quad (119)$$

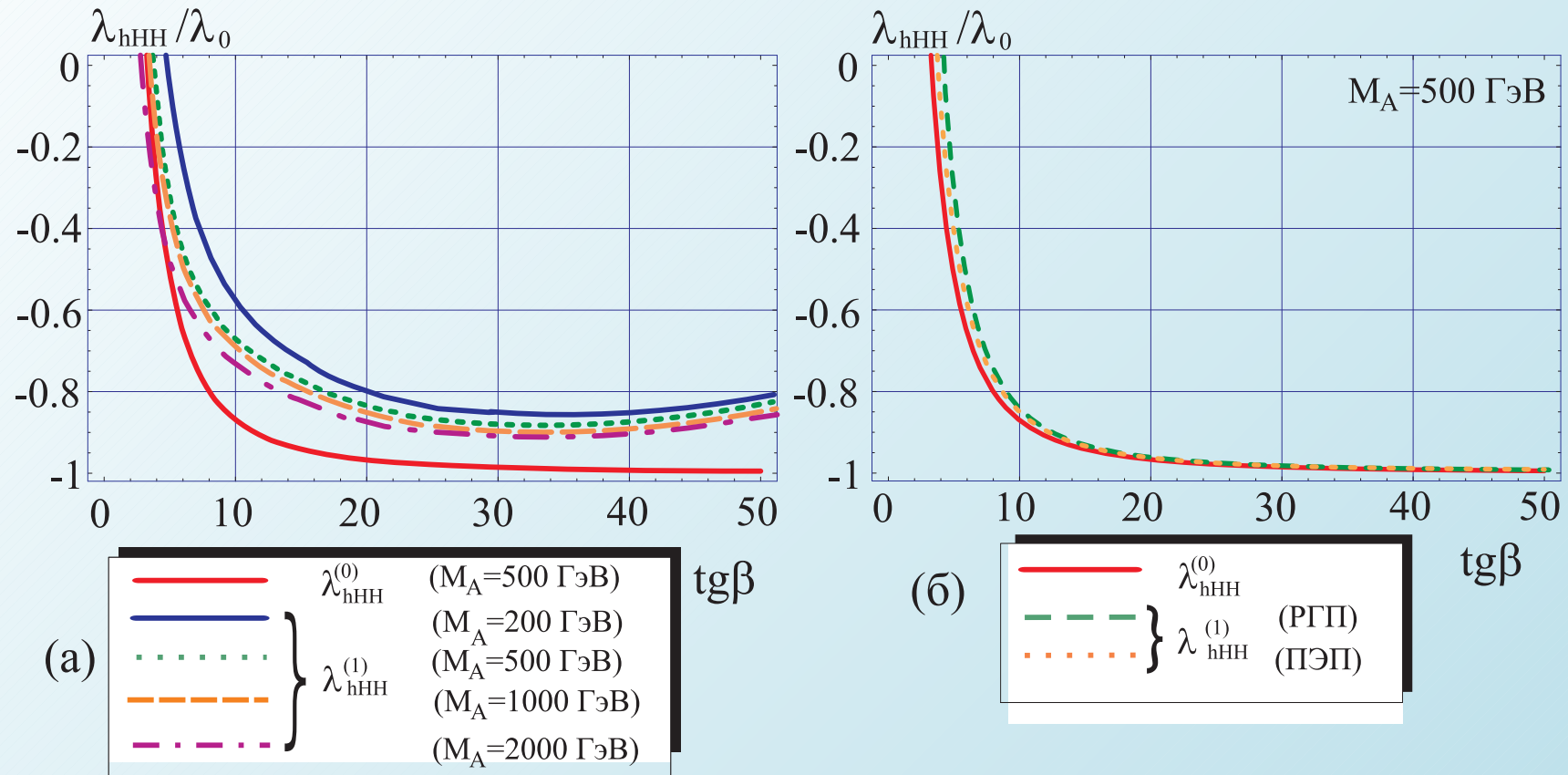


Рис. 8: Зависимость от $\text{tg}\beta$ константы λ_{hHH} , (в единицах λ_0) с учетом (а) юкавских однопетлевых поправок ($t - b - c - \tau$ -петель) с использованием ФДП и усовершенствованной схемы перенормировки, (б) юкавских t -поправок в РГП и ПЭП при $A_f = 1$ ТэВ, $\mu = 0.5$ ТэВ, $M_{\tilde{Q}} = M_{\tilde{U}} = M_{\tilde{D}} = M_{\tilde{L}} = M_{\tilde{R}} = 1$ ТэВ.

6.2 Ширина распада $H \rightarrow hh$ в однопетлевом приближении

Как указано ранее сечения процессов парного и трехчастичного рождения БХ

определяющим образом зависят от ширины распада, представленной в виде:

$$\Gamma(H \rightarrow hh) = \frac{|\mathcal{A}_{H \rightarrow hh}|^2}{32\pi M_H} \sqrt{1 - \frac{4M_h^2}{M_H^2}}, \quad (120)$$

Ширина распада $\Gamma(H \rightarrow hh)$ была исследована как с учетом $t - \tilde{t}$ – поправок [50], с учетом $t - \tilde{t}$, $b - \tilde{b}$ – поправок [52].

M_h, M_H – физические массы БХ в рассматриваемом приближении, являющиеся вещественными частями полюсов матрицы пропагаторов:

$$\Delta = \begin{bmatrix} \Delta_{hh} & \Delta_{hH} \\ \Delta_{hH} & \Delta_{HH} \end{bmatrix}, \quad (121)$$

где

$$\Delta_{hh} = \frac{1}{p^2 - m_h^2 + \hat{\Sigma}_{hh}(p^2) - \frac{\hat{\Sigma}_{hH}^2(p^2)}{p^2 - m_H^2 + \hat{\Sigma}_{HH}(p^2)}},$$

$$\Delta_{HH} = \frac{1}{p^2 - m_H^2 + \hat{\Sigma}_{HH}(p^2) - \frac{\hat{\Sigma}_{hH}^2(p^2)}{p^2 - m_h^2 + \hat{\Sigma}_{hh}(p^2)}},$$

$$\Delta_{hH} = \frac{-\hat{\Sigma}_{hH}(p^2)}{(p^2 - m_h^2 + \hat{\Sigma}_{hh}(p^2))(p^2 - m_H^2 + \hat{\Sigma}_{HH}(p^2)) - \hat{\Sigma}_{hH}^2(p^2)}. \quad (122)$$

Полюсы матрицы пропагаторов определяются уравнением вида:

$$\text{Det}[\Delta^{-1}] = 0,$$

или $\left[p^2 - m_h^2 + \hat{\Sigma}_{hh}(p^2) \right] \left[p^2 - m_H^2 + \hat{\Sigma}_{HH}(p^2) \right] - \left[\hat{\Sigma}_{hH}(p^2) \right]^2 = 0.$ (123)

Для определения амплитуды $\mathcal{A}_{H \rightarrow hh}$ необходимо перейти к базису перенормированных полей посредством Z -матрицы:

$$\begin{bmatrix} h \\ H \end{bmatrix} \mapsto \begin{bmatrix} Z_{hh}^{\frac{1}{2}} & Z_{hH}^{\frac{1}{2}} \\ Z_{Hh}^{\frac{1}{2}} & Z_{HH}^{\frac{1}{2}} \end{bmatrix} \begin{bmatrix} h_R \\ H_R \end{bmatrix}$$

$$\mathcal{A}_{H \rightarrow hh} = Z_{HH}^{\frac{1}{2}} \left[Z_{hh}^{\frac{1}{2}} \right]^2 \hat{\lambda}_{hhH}^{(1)} + 2Z_{HH}^{\frac{1}{2}} Z_{hh}^{\frac{1}{2}} Z_{Hh}^{\frac{1}{2}} \hat{\lambda}_{hHH}^{(1)} + 3Z_{hH}^{\frac{1}{2}} \left[Z_{hh}^{\frac{1}{2}} \right]^2 \hat{\lambda}_{hhh}^{(1)}. \quad (124)$$

Элементы Z -матрицы определяются элементами матриц $R_{h,H}$, а именно:

$$\begin{aligned} Z_{hh}^{\frac{1}{2}} = R_{h_{11}} &= 1 - \hat{\Sigma}'_{hh}(M_h^2), & Z_{hH}^{\frac{1}{2}} = R_{H_{12}} &= -\hat{\Sigma}_{hH}(M_H^2)/(M_H^2 - M_h^2), \\ Z_{Hh}^{\frac{1}{2}} = R_{h_{12}} &= -\hat{\Sigma}_{hH}(M_h^2)/(M_h^2 - M_H^2), & Z_{HH}^{\frac{1}{2}} = R_{H_{22}} &= 1 - \hat{\Sigma}'_{HH}(M_H^2). \end{aligned} \quad (125)$$

7. Сечения рождения пары БХ в однопетлевом приближении

- алгоритм расчета процессов типа $2 \rightarrow 2$ прост;
- поиск процессов с доминирующей ролью петлевых поправок, критериальных процессов в идентификации модели;
- поиск процессов, где роль петлевых вкладов суперпартнеров может быть весьма значительна.

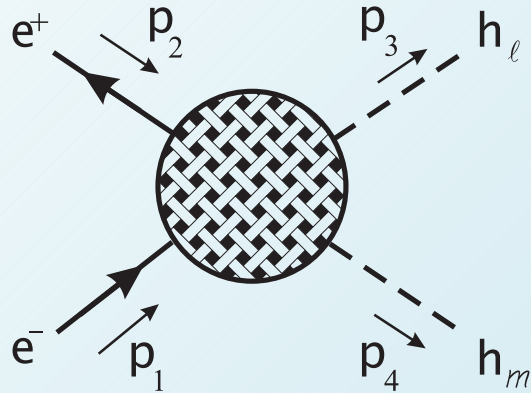
В работе [9] исследован процесс $e^+e^- \rightarrow HH$ в СМ в однопетлевом приближении. На примере зависимостей $\sigma(M_H)$ продемонстрировано, что сечение процесса достигает значений $\sigma \sim 10^{-1} - 1$ (фбн).

[9] Gaemers K. and Hoogeveen F. // Z. Phys. 1984. С 26. Р. 249.

$$\sigma_{tot} = \int_{t_{min}}^{t_{max}} \left[\frac{d\sigma}{dt} \right] dt, \quad (126)$$

$$\text{где } t_{\{min,max\}} = \frac{1}{2} [M_{h_\ell}^2 + M_{h_m}^2] - \frac{s}{2} \mp \frac{s}{2} \kappa. \quad (127)$$

$$\frac{d\sigma}{dt} = \frac{1}{64\pi s^2 (1 + \delta_{h_\ell h_m})} \sum_{s_+, s_-} |\mathcal{A}_{[i \rightarrow f]}|^2, \quad \delta_{h_\ell h_m} = \begin{cases} 1, & h_\ell \equiv h_m, \\ 0, & h_\ell \neq h_m \end{cases}, \quad (128)$$



$$\left. \begin{aligned} p_1 &= \frac{\sqrt{s}}{2} (1, 0, 0, 1), & p_2 &= \frac{\sqrt{s}}{2} (1, 0, 0, -1), & p_1^2 &= m_1^2 = 0, & p_2^2 &= m_2^2 = 0 \\ p_3 &= \frac{\sqrt{s}}{2} \left(1 + \frac{M_{h_\ell}^2 - M_{h_m}^2}{s}, \kappa \sin \theta, 0, \kappa \cos \theta \right), & p_3^2 &= m_3^2 = M_{h_\ell}^2, \\ p_4 &= \frac{\sqrt{s}}{2} \left(1 - \frac{M_{h_\ell}^2 - M_{h_m}^2}{s}, -\kappa \sin \theta, 0, -\kappa \cos \theta \right), & p_4^2 &= m_4^2 = M_{h_m}^2, \end{aligned} \right\} (129)$$

$$\kappa = \frac{1}{s} \sqrt{\lambda(s, M_{h_\ell}^2, M_{h_m}^2)}, \quad \lambda(x, y, z) = x^2 + y^2 + z^2 - 2xy - 2xz - 2yz. \quad (130)$$

Рис. 9: К определению кинематики процесса

$$\left. \begin{aligned}
 s &= (p_1 + p_2)^2 = (p_3 + p_4)^2, \\
 t &= (p_1 - p_3)^2 = (p_2 - p_4)^2 = \frac{1}{2} [M_{h_\ell}^2 + M_{h_m}^2] - \frac{s}{2} + \frac{s}{2} \kappa \cos \theta, \\
 u &= (p_1 - p_4)^2 = (p_2 - p_3)^2 = \frac{1}{2} [M_{h_\ell}^2 + M_{h_m}^2] - \frac{s}{2} - \frac{s}{2} \kappa \cos \theta, \\
 s + t + u &= M_{h_\ell}^2 + M_{h_m}^2.
 \end{aligned} \right\} \quad (131)$$

Расчет амплитуд процессов

Амплитуда процесса $\mathcal{A}(e^+e^- \rightarrow h_\ell h_m)$, $\{h_\ell, h_m\} = \{h, h\}, \{h, H\}, \{H, H\}$ может быть представлена в виде:

$$\mathcal{A}(e^+e^- \rightarrow h_\ell h_m) = \sum_{k=1}^{13} \mathcal{A}_k, \quad (132)$$

$$\mathcal{A}_1 = -e\bar{v}(p_2)\gamma^\mu u(p_1) \frac{g_{\mu\nu}}{s} \left[G_{\gamma h_\ell h_m}^{(1)} p_3^\nu + G_{\gamma h_\ell h_m}^{(2)} p_4^\nu \right], \quad (133)$$

$$\mathcal{A}_2 = -e\bar{v}(p_2) \left[\frac{1-4s_W^2}{4s_W c_W} \gamma^\mu - \frac{1}{4s_W c_W} \gamma^\mu \gamma^5 \right] u(p_1) \frac{g_{\mu\nu}}{s-M_Z^2} \left[G_{Zh_\ell h_m}^{(1)} p_3^\nu + G_{Zh_\ell h_m}^{(2)} p_4^\nu \right], \quad (134)$$

$$\mathcal{A}_3 = -e\bar{v}(p_2)\gamma^\mu u(p_1) \frac{g_{\mu\nu}}{s} \left[G_{\gamma h} (p_1 + p_2)^\nu \right] \frac{1}{s-M_h^2} \lambda_{hh_\ell h_m}^{(0)}, \quad (135)$$

$$\mathcal{A}_4 = -e\bar{v}(p_2)\gamma^\mu u(p_1) \frac{g_{\mu\nu}}{s} \left[G_{\gamma H} (p_1 + p_2)^\nu \right] \frac{1}{s-M_H^2} \lambda_{Hh_\ell h_m}^{(0)}, \quad (136)$$

$$\mathcal{A}_5 = -e\bar{v}(p_2) \left[\frac{1-4s_W^2}{4s_W c_W} \gamma^\mu - \frac{1}{4s_W c_W} \gamma^\mu \gamma^5 \right] u(p_1) \frac{g_{\mu\nu}}{s-M_Z^2} [G_{Zh}(p_1 + p_2)^\nu] \frac{1}{s-M_h^2} \lambda_{hh_\ell h_m}^{(0)}, \quad (137)$$

$$\mathcal{A}_6 = -e\bar{v}(p_2) \left[\frac{1-4s_W^2}{4s_W c_W} \gamma^\mu - \frac{1}{4s_W c_W} \gamma^\mu \gamma^5 \right] u(p_1) \frac{g_{\mu\nu}}{s-M_Z^2} [G_{ZH}(p_1 + p_2)^\nu] \frac{1}{s-M_H^2} \lambda_{Hh_\ell h_m}^{(0)}, \quad (138)$$

$$\mathcal{A}_7 = -e\bar{v}(p_2) \left[\frac{1-4s_W^2}{4s_W c_W} \gamma^\mu - \frac{1}{4s_W c_W} \gamma^\mu \gamma^5 \right] u(p_1) \frac{g_{\mu\nu}}{s-M_Z^2} [v_{Ah_\ell}^Z(p_4 - p_3)^\nu] \frac{1}{p_4^2 - M_A^2} G_{Ah_m}, \quad (139)$$

$$\mathcal{A}_8 = -e\bar{v}(p_2) \left[\frac{1-4s_W^2}{4s_W c_W} \gamma^\mu - \frac{1}{4s_W c_W} \gamma^\mu \gamma^5 \right] u(p_1) \frac{g_{\mu\nu}}{s-M_Z^2} [v_{Gh_\ell}^Z(p_4 - p_3)^\nu] \frac{1}{p_4^2 - M_G^2} G_{Gh_m}, \quad (140)$$

$$\mathcal{A}_9 = e\bar{v}(p_2) \left[\frac{1-4s_W^2}{4s_W c_W} \gamma^\mu - \frac{1}{4s_W c_W} \gamma^\mu \gamma^5 \right] u(p_1) \frac{g_{\mu\nu}}{s-M_Z^2} [t_{ZZ}^{h_\ell} g^{\nu\lambda}] \frac{g_{\lambda\rho}}{p_4^2 - M_Z^2} [G_{Zh_m} p_4^\rho], \quad (141)$$

$$\mathcal{A}_{10} = -e\bar{v}(p_2) \left[\frac{1-4s_W^2}{4s_W c_W} \gamma^\mu - \frac{1}{4s_W c_W} \gamma^\mu \gamma^5 \right] u(p_1) \frac{g_{\mu\nu}}{s-M_Z^2} [v_{Ah_m}^Z(p_3 - p_4)^\nu] \frac{1}{p_3^2 - M_A^2} G_{Ah_\ell}, \quad (142)$$

$$\mathcal{A}_{11} = -e\bar{v}(p_2) \left[\frac{1-4s_W^2}{4s_W c_W} \gamma^\mu - \frac{1}{4s_W c_W} \gamma^\mu \gamma^5 \right] u(p_1) \frac{g_{\mu\nu}}{s-M_Z^2} [v_{Gh_\ell}^Z(p_3 - p_4)^\nu] \frac{1}{p_3^2 - M_G^2} G_{Gh_\ell}, \quad (143)$$

$$\mathcal{A}_{12} = e\bar{v}(p_2) \left[\frac{1-4s_W^2}{4s_W c_W} \gamma^\mu - \frac{1}{4s_W c_W} \gamma^\mu \gamma^5 \right] u(p_1) \frac{g_{\mu\nu}}{s-M_Z^2} [t_{ZZ}^{h_m} g^{\nu\lambda}] \frac{g_{\lambda\rho}}{p_3^2 - M_Z^2} [G_{Zh_\ell} p_3^\rho], \quad (144)$$

$$\begin{aligned} \mathcal{A}_{13} = & \bar{v}(p_2) \left[G_{131}^{h_\ell h_m} + G_{132}^{h_\ell h_m} \gamma^5 + G_{133}^{h_\ell h_m} \hat{p}_3 + G_{134}^{h_\ell h_m} \hat{p}_4 + G_{135}^{h_\ell h_m} \hat{p}_1 + G_{136}^{h_\ell h_m} \hat{p}_3 \gamma^5 + \right. \\ & G_{137}^{h_\ell h_m} \hat{p}_4 \gamma^5 + G_{138}^{h_\ell h_m} \hat{p}_1 \gamma^5 + G_{139}^{h_\ell h_m} \hat{p}_3 \hat{p}_4 + G_{1310}^{h_\ell h_m} \hat{p}_1 \hat{p}_3 + G_{1311}^{h_\ell h_m} \hat{p}_1 \hat{p}_4 + G_{1312}^{h_\ell h_m} \hat{p}_3 \hat{p}_4 \gamma^5 + \\ & \left. + G_{1313}^{h_\ell h_m} \hat{p}_1 \hat{p}_3 \gamma^5 + G_{1314}^{h_\ell h_m} \hat{p}_1 \hat{p}_4 \gamma^5 \right] u(p_1). \end{aligned} \quad (145)$$

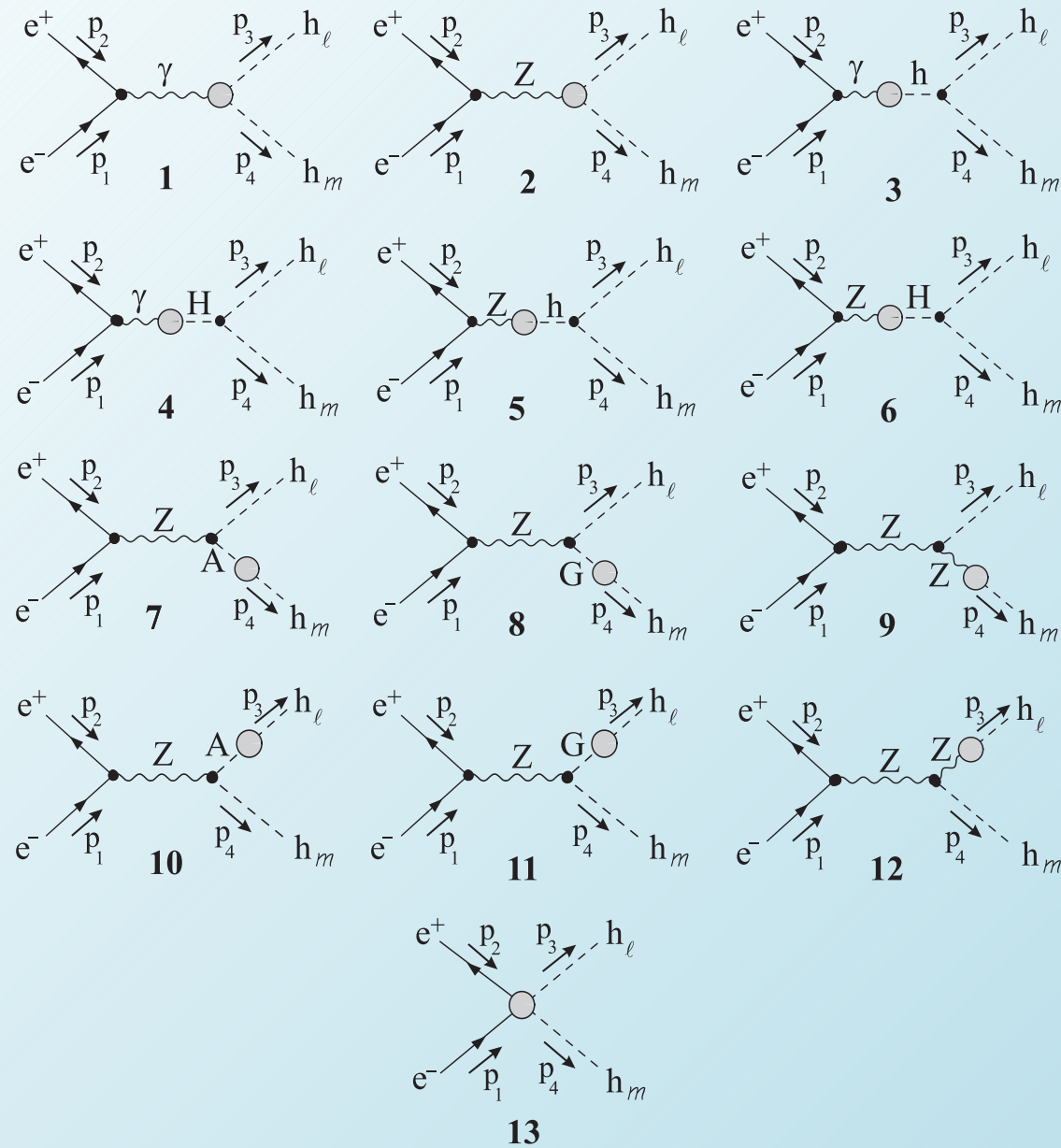


Рис. 10: Система скелетных диаграмм Фейнмана, определяющих амплитуду процесса $e^+e^- \rightarrow h_\ell h_m$, где $\{h_\ell, h_m\} = \{h, h\}, \{h, H\}, \{H, H\}$.

Ю.П. Филиппов: Петлевые эффекты во взаимодействиях бозонов Хиггса в МССМ

$$\sum_{s+, s-} |\mathcal{A}(e^+e^- \rightarrow hh)|^2 = \mathfrak{S}_{hh} + \mathfrak{S}_{hh}^* + \mathfrak{A}_{hh}, \quad (146)$$

$$\begin{aligned} \mathfrak{S}_{hh} = & \frac{f_{hh}}{s} \Delta G_{\gamma hh} \left[\frac{g_2^2 s_W^2}{s} \Delta \bar{G}_{\gamma hh} - \frac{g_2^2 s_W (1-4s_W^2)}{2(s-M_Z^2)c_W} \Delta \bar{G}_{Zhh} + \frac{ig_2^3 s_W (1-4s_W^2)}{(s-M_Z^2)c_W^2} \Delta \bar{G}_{AG}^h + \right. \\ & \left. + 2g_2 s_W \Delta \bar{G}_{(3,4)}^{hh} \right] + \frac{f_{hh}}{2c_W(s-M_Z^2)} \Delta G_{Zhh} \left[-\frac{g_2^2 (8s_W^4 - 4s_W^2 + 1)}{4c_W(s-M_Z^2)} \Delta \bar{G}_{Zhh} + \frac{ig_2^3 (8s_W^4 - 4s_W^2 + 1)}{(s-M_Z^2)c_W^2} \Delta \bar{G}_{AG}^h + \right. \\ & \left. + g_2 (1 - 4s_W^2) \Delta \bar{G}_{(3,4)}^{hh} - g_2 \Delta \bar{G}_{(6,7)}^{hh} \right] + \frac{f_{hh}}{c_W^2 (s-M_Z^2)} \Delta G_{AG}^h \left[-\frac{g_2^4 (8s_W^4 - 4s_W^2 + 1)}{2c_W^2 (s-M_Z^2)} \Delta \bar{G}_{AG}^h + \right. \\ & \left. + ig_2^2 (1 - 4s_W^2) \Delta \bar{G}_{(3,4)}^{hh} - ig_2^2 \Delta \bar{G}_{(6,7)}^{hh} \right] + s |G_{131}^{hh} + (s+t-2M_h^2)G_{139}^{hh}|^2 + \\ & + s |G_{132}^{hh} + (s+t-2M_h^2)G_{1312}^{hh} + (M_h^2 - t)G_{1313}^{hh} + (s+t-M_h^2)G_{1314}^{hh}|^2 - \\ & - f_{hh} \left| \Delta G_{(3,4)}^{hh} \right|^2 - f_{hh} \left| \Delta G_{(6,7)}^{hh} \right|^2, \quad f_{h_\ell h_m} = (M_{h_\ell}^2 M_{h_m}^2 - (M_{h_\ell}^2 + M_{h_m}^2)t + t(s+t)), \quad (147) \end{aligned}$$

$$\begin{aligned}
 \mathcal{A}_{hh} = & \frac{M_W s(\alpha-\beta) f_{hh}}{2c_W^3 (M_h^2 - M_Z^2)(s - M_Z^2)} G_{Zh} \left[\frac{ig_2^4 (8s_W^4 - 4s_W^2 + 1)}{c_W^2 (s - M_Z^2)} \Delta \bar{G}_{AG}^{hh} + g_2^2 (1 - 4s_W^2) \Delta \bar{G}_{(3,4)}^{hh} - \right. \\
 & \left. - g_2^2 \Delta \bar{G}_{(6,7)}^{hh} \right] + 2s \left[(M_h^2 - t) G_{1310}^{hh} + (s + t - M_h^2) G_{1311}^{hh} \right] \times \left[\bar{G}_{131}^{hh} + (s + t - \right. \\
 & \left. - 2M_h^2) \bar{G}_{139}^{hh} \right], \quad \Delta G_{(i,j)}^{h_\ell h_m} = G_{13i}^{h_\ell h_m} - G_{13j}^{h_\ell h_m}, \\
 \Delta G_{AG}^{h_\ell} = & \left[\frac{c(\alpha-\beta)}{(M_A^2 - M_{h_\ell}^2)} G_{Ah_\ell} + \frac{s(\alpha-\beta)}{(M_{h_\ell}^2 - M_Z^2)} G_{Gh_\ell} \right] (M_{h_\ell}^2), \tag{148}
 \end{aligned}$$

Результаты работы [54] получены

- лишь с учетом четырехточечных диаграмм Фейнмана.
- учитывалась упомянутая ранее связь параметров M_2 и M_1 .
- Массы всех скалярных лептонов и кварков одинаковые и равны соответственно $M_{\tilde{\ell}} = 300$ ГэВ, $M_{\tilde{q}} = 500$ ГэВ, а параметры $A_t = A_b = 0$ ГэВ.